



REGIONE SARDEGNA
COMUNI DI VILLANOVAFORRU, SARDARA, SANLURI E
FURTEI (SU)

PROGETTO

Impianto per la produzione di energia elettrica da fonte eolica
di potenza pari a 42 MW denominato "Marmilla"
Comuni di Villanovaforru, Sardara, Sanluri e Furtei (SU)
Variante in riduzione da 42 MW a 36 MW

TITOLO

Rel.06 - Calcoli preliminari fondazione trafo

PROPONENTE



ENGIE TREXENTA S.r.l.

Sede legale e Amministrativa:

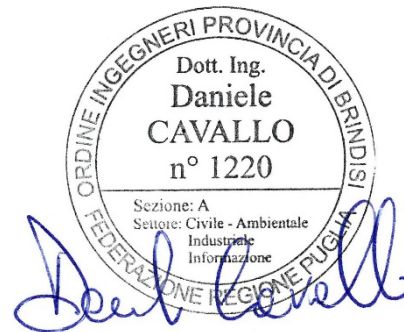
Via Chiese 72
20126 Milano (MI)
PEC: engietrexenta@legalmail.it

PROGETTISTA



SCM ingegneria S.r.l.
Via Carlo del Croix, 55
Tel.: +39 0831-728955
72022 Latiano (BR)
Mail: info@scmingegneria.com

Dott. Ing. Daniele Cavallo



Scala	Formato Stampa A4	Cod.Elaborato EOMRMD-I_Rel.06	Rev. 01	Nome File EOMRMD-I_Rel.06-Calcoli preliminari fondazione trafo	Foglio 1 di 44
-------	----------------------	----------------------------------	------------	---	-------------------

Rev.	Data	Descrizione	Elaborato	Controllato	Approvato
00	15/04/2023	Emesso per iter autorizzativo	L. Maculan	D. Cavallo	D. Cavallo
01	13/10/2023	Emesso per iter autorizzativo	L. Maculan	D. Cavallo	D. Cavallo

INDICE

1	INTRODUZIONE	4
1.1	DESCRIZIONE GENERALE DELL’OPERA	4
2	NORME DI RIFERIMENTO	5
3	MATERIALI E DURABILITÀ	6
4	MODELLO NUMERICO	8
4.1	TIPO DI ANALISI STRUTTURALE	9
4.2	PRINCIPALI RISULTATI PRESENTATI.....	11
5	MODELLAZIONE DELLE AZIONI	12
5.1	COMBINAZIONI E/O PERCORSI DI CARICO	12
5.2	VERIFICHE AGLI STATI LIMITE ULTIMI.....	12
5.3	VERIFICHE AGLI STATI LIMITE DI ESERCIZIO	13
6	MODELLAZIONE DELLE SEZIONI	13
6.1	LEGENDA TABELLA DATI SEZIONI.....	13
7	MODELLAZIONE STRUTTURA: NODI	14
7.1	LEGENDA TABELLA DATI NODI.....	14
8	MODELLAZIONE STRUTTURA: ELEMENTI TRAVE.....	15
8.1	TABELLA DATI TRAVI	15
9	MODELLAZIONE STRUTTURA: ELEMENTI SHELL.....	16
9.1	LEGENDA TABELLA DATI SHELL.....	16
10	MODELLAZIONE DELLE AZIONI.....	18
10.1	LEGENDA TABELLA DATI AZIONI	18
11	SCHEMATIZZAZIONE DEI CASI DI CARICO	20
11.1	LEGENDA TABELLA CASI DI CARICO	20
12	DEFINIZIONE DELLE COMBINAZIONI	25
12.1	LEGENDA TABELLA COMBINAZIONI DI CARICO.....	25
13	AZIONE SISMICA	28
13.1	VALUTAZIONE DELL’ AZIONE SISMICA.....	28
14	RISULTATI ANALISI SISMICHE	29
14.1	LEGENDA TABELLA ANALISI SISMICHE	29
15	RISULTATI NODALI	32
15.1	LEGENDA RISULTATI NODALI	32
16	RISULTATI OPERE DI FONDAZIONE	34
16.1	LEGENDA RISULTATI OPERE DI FONDAZIONE	34
17	VERIFICHE ELEMENTI PARETE E/O GUSCIO IN C.A.	39
17.1	LEGENDA TABELLA VERIFICHE ELEMENTI PARETE E GUSCIO IN C.A.	39

18	STATI LIMITE D' ESERCIZIO	42
18.1	LEGENDA TABELLA STATI LIMITE D' ESERCIZIO	42

1 INTRODUZIONE

La presente revisione del progetto presentato in richiesta di autorizzazione si è resa necessaria a valle dell'identificazione di interferenze con il progetto di un impianto eolico da 55,8 MW presentato dalla società Asja Serra e localizzato nella medesima area, come evidenziato nella comunicazione E-SERRA/FG/SC/sa/227/23 presentata al Ministero dell'Ambiente e della Sicurezza Energetica (MASE) in data 15/06/2023.

Al fine di risolvere tali interferenze si è rivisto il progetto presentato in prima revisione andando a ridurre il numero di aerogeneratori, da 7 a 5, e il modello degli stessi, da 7,2 MW ciascuno invece di 6 MW, risultando in una riduzione di potenza totale di impianto da 42 MW a 36 MW.

Le modifiche principali di layout rispetto alla revisione precedente del progetto sono visivamente evidenziate nell'elaborato grafico EOMRMD-I_Tav.36 - Planimetria comparativa layout impianto eolico.

Nella presente relazione di calcolo vengono illustrati i criteri di dimensionamento e verifica della vasca interrata che funge da supporto del trasformatore di potenza (TRAFO) previsto all'interno della stazione utente per la connessione della centrale di produzione di energia da fonte eolica, con una potenza nominale di 36 MW che la società ENGIE TREXENTA S.R.L. (di seguito “la Società”) intende realizzare nei Comuni di Villanovaforru, Sardara, Sanluri e Furtei (SU).

1.1 DESCRIZIONE GENERALE DELL'OPERA

L'opera in oggetto è una vasca interrata in c.a., gettata in opera, a pianta rettangolare di dimensioni 8,00 x 5,90 m ed un'altezza $h = 1,85$ m.

L'interno della vasca presenta 2 setti intermedi, dello spessore di 40 cm, alle cui sommità sono fissate due rotaie in acciaio lungo le quali viene fatto scorrere il trasformatore fino a che questo raggiunga la posizione di esercizio. La parte superiore della vasca è delimitata da una soletta a spessore variabile, con fori coperti da chiusini prefabbricati.

Si riportano a seguire alcune immagini rappresentative del progetto dell'opera.

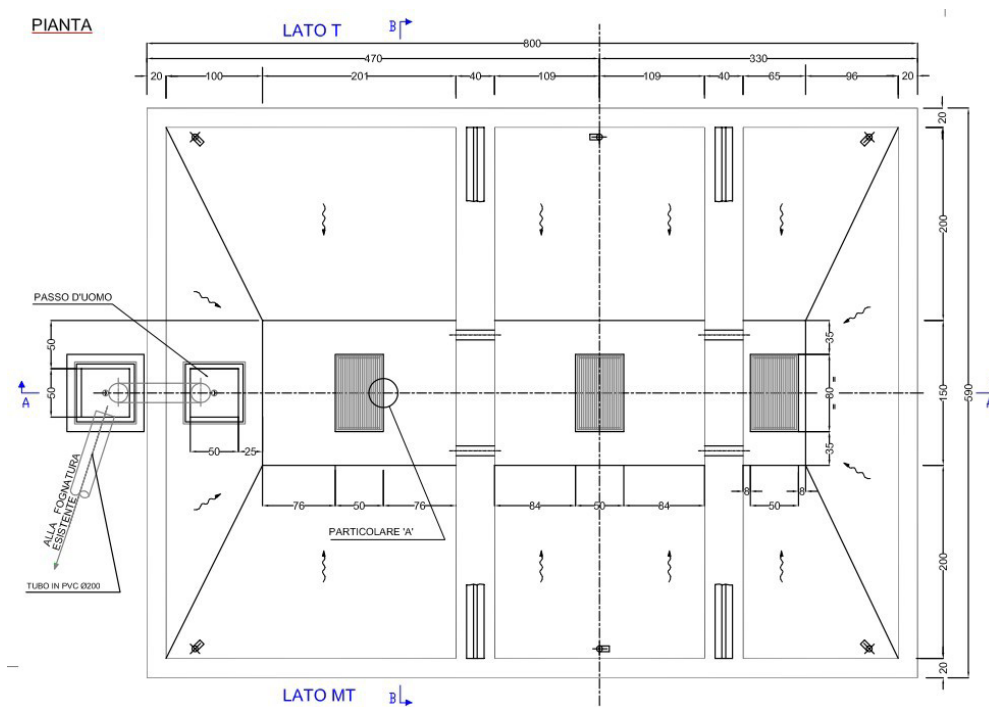


Figura 1-1 – Pianta struttura supporto trafo

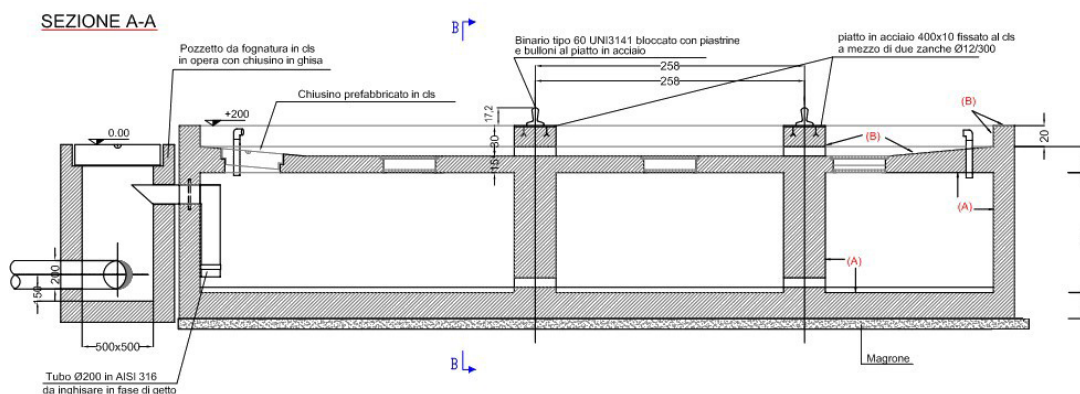


Figura 1-2 – Sezione struttura supporto trafo

La struttura è di fatto uno scatolare in c.a., interrato, la cui platea di base di spessore pari a 25cm, trasmette al suolo i carichi provenienti dall'elevazione, mentre i setti perimetrali, di spessore pari a 20cm, fungono da muri contro terra.

In questa fase progettuale la fondazione viene ipotizzata di tipo diretto.

2 NORME DI RIFERIMENTO

Per le verifiche strutturali sono state impiegate le seguenti norme:

1. D.M. Infrastrutture Min. Interni e Prot. Civile 17 Gennaio 2018 "Norme tecniche per le costruzioni".
2. Circolare 21/01/19, n. 7 C.S.LL.PP "Istruzioni per l'applicazione dell'aggiornamento

delle Norme Tecniche delle Costruzioni di cui al decreto ministeriale 17 gennaio 2018"

3. D.Min. Infrastrutture e trasporti 14 Settembre 2005 e allegate "Norme tecniche per le costruzioni".
4. D.M. LL.PP. 9 Gennaio 1996 "Norme tecniche per il calcolo, l'esecuzione ed il collaudo delle strutture in cemento armato, normale e precompresso e per le strutture metalliche".
5. D.M. LL.PP. 16 Gennaio 1996 "Norme tecniche relative ai <<Criteri generali per la verifica di sicurezza delle costruzioni e dei carichi e sovraccarichi>>".
6. D.M. LL.PP. 16 Gennaio 1996 "Norme tecniche per le costruzioni in zone sismiche".
7. Circolare 4/07/96, n.156 AA.GG./STC. istruzioni per l'applicazione delle "Norme tecniche relative ai <<Criteri generali per la verifica di sicurezza delle costruzioni e dei carichi e sovraccarichi>>" di cui al D.M. 16/01/96.
8. Circolare 10/04/97, n.65AA.GG. istruzioni per l'applicazione delle "Norme tecniche per le costruzioni in zone sismiche" di cui al D.M. 16/01/96.
9. D.M. LL.PP. 20 Novembre 1987 "Norme tecniche per la progettazione, esecuzione e collaudo degli edifici in muratura e per il loro consolidamento".

3 MATERIALI E DURABILITÀ

Ai fini della durabilità della struttura, si assume una classe di esposizione *XC2 - bagnato, raramente asciutto*.

I materiali strutturali hanno le caratteristiche seguenti:

Id	Tipo / Note	V. caratt.	V. medio	Young	Poisson	G	Gamma	Alfa	Altri
		N/mm ²	N/mm ²	N/mm ²		N/mm ²	N/mm ³		
1	Calcestruzzo Classe C25/30			3.145e+04	0.20	1.310e+05	2.50e-04	1.00e-05	
	Resistenza Rc	30.0							
	Resistenza fctm		2.6						
	Rapporto Rfessurata								1.00
	Coefficiente ksb								0.85
	Rapporto HRDb								1.00e-05
	Rapporto HRDv								1.00e-05
75	Materiale inf. rigido no peso			1.000e+11	0.0	5.000e+11	0.0	1.20e-05	
	Rapporto HRDb								1.00e-05
	Rapporto HRDv								1.00e-05

Pareti c.a.	1/7/..	2/8/..	3/9/..	4/10/..	5/11/..	6/12/..
Armatura						
Inclinazione Av [gradi]	90.00					
Angolo Av-Ao [gradi]	90.00					
Minima tesa	0.20					
Massima tesa	4.00					
Maglia unica centrale	No					

Unico strato verticale	No					
Unico strato orizzontale	No					
Copriferro [cm]	4.00					
Maglia V						
diametro	16					
passo	25					
diametro aggiuntivi	16					
Maglia O						
diametro	16					
passo	25					
diametro aggiuntivi	16					
Stati limite ultimi						
Tensione fy [N/mm ²]	450.00					
Tipo acciaio	tipo C					
Coefficiente gamma s	1.15					
Coefficiente gamma c	1.50					
Verifiche con N costante	Si					
Tensioni ammissibili						
Tensione amm. cls [N/mm ²]	9.75					
Tensione amm. acciaio [N/mm ²]	260.00					
Rapporto omogeneizzazione N	15.00					
Massimo rapporto area compressa/tesa	1.00					
Pareti c.a.	1/7/..	2/8/..	3/9/..	4/10/..	5/11/..	6/12/..
Parete estesa debolmente armata						
Fattore amplificazione taglio V	0.0					
Hcrit. par. 7.4.4.5.1 [cm]	0.0					
Hcrit. par. 7.4.6.1.4 [cm]	0.0					
Diagramma involuppo taglio	No					
Vincolo lati	nessun lato					
Verifica come fascia	No					
Diametro di estremità	0					
Zona confinata						
Minima tesa	1.00					
Massima tesa	4.00					
Distanza barre [cm]	2.00					
Interferro	2					
Armatura inclinata						
Area barre [cm ²]	0.0					
Angolo orizzontale [gradi]	0.0					
Distanza di base [cm]	0.0					

Gusci c.a.	1/7/..	2/8/..	3/9/..	4/10/..	5/11/..	6/12/..
Armatura						
Inclinazione Ax [gradi]	0.0					
Angolo Ax-Ay [gradi]	90.00					
Minima tesa	0.25					
Massima tesa	0.78					

Maglia unica centrale	No				
Copriferro [cm]	4.00				
Maglia x					
diametro	16				
passo	25				
diametro aggiuntivi	16				
Maglia y					
diametro	16				
passo	25				
diametro aggiuntivi	16				
Stati limite ultimi					
Tensione f_y [N/mm ²]	450.00				
Tipo acciaio	tipo C				
Coefficiente gamma s	1.15				
Coefficiente gamma c	1.50				
Verifiche con N costante	Si				
Applica SLU da DIN	No				
Tensioni ammissibili					
Tensione amm. cls [N/mm ²]	9.75				
Tensione amm. acciaio [N/mm ²]	260.00				
Rapporto omogeneizzazione N	15.00				
Massimo rapporto area compressa/tesa	1.00				

4 MODELLO NUMERICO

La vasca è modellata con elementi shell (guscio) reagenti sia nel piano che fuori dal piano.

I carichi provenienti dal trasformatore sono applicati al centro dell’estradosso della soletta superiore; più precisamente, il punto di applicazione è situato planimetricamente al centro della sagoma della vasca, e altimetricamente a 0,1 m al di sopra del piano del terreno di stazione teorico. Questo nodo risulta collegato rigidamente alla vasca attraverso 4 bracci (elementi frame a rigidità elevatissima con connessione rigida su ambo le estremità).

Nel prosieguo saranno indicati il tipo di analisi strutturale condotta, ed il metodo adottato per la risoluzione del problema strutturale, nonché le metodologie seguite per la verifica delle sezioni.

La verifica della sicurezza degli elementi strutturali avviene con i metodi della scienza delle costruzioni. L’analisi strutturale è condotta con il metodo degli spostamenti per la valutazione dello stato tenso- deformativo indotto da carichi statici.

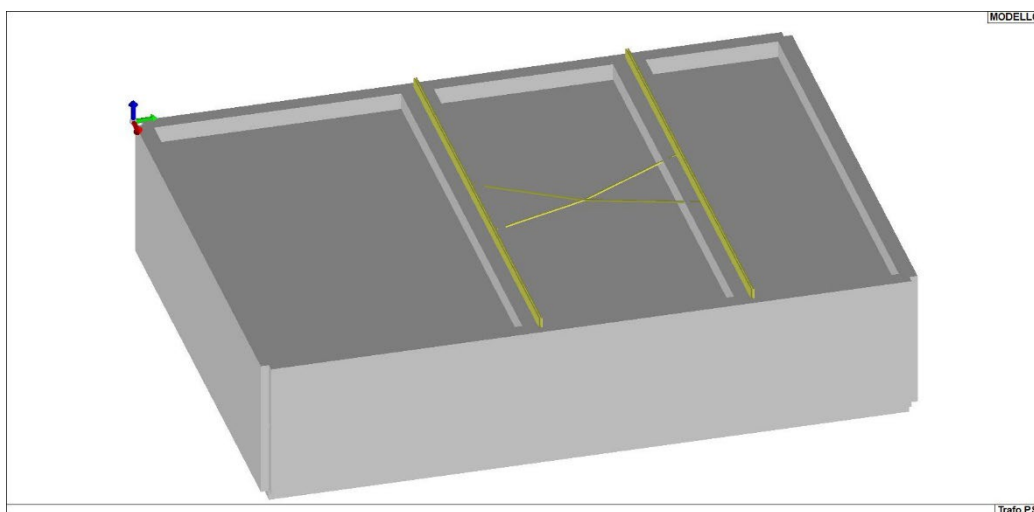


Figura 4-1 – Modello FEM – Vista 3D

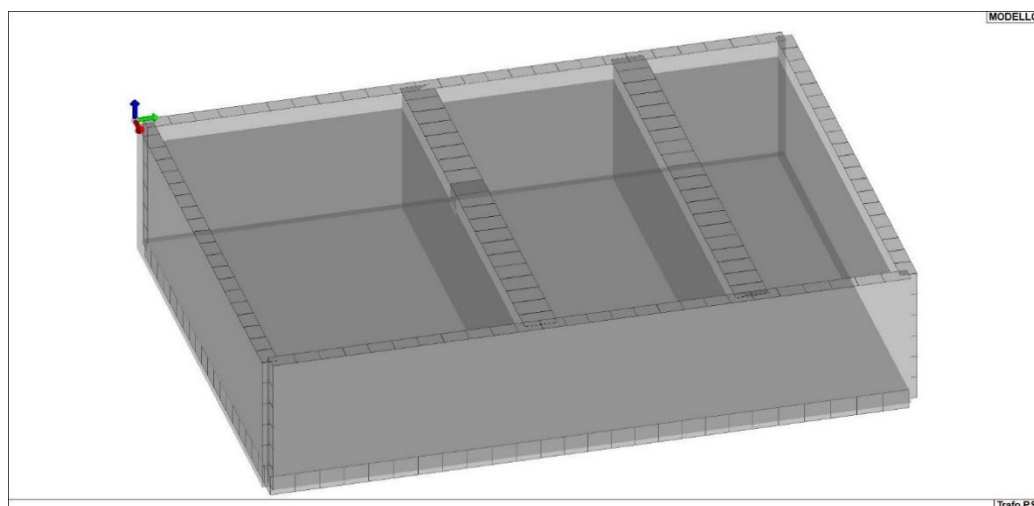


Figura 4-2 – Modello FEM senza soletta di copertura – Vista 3D

4.1 TIPO DI ANALISI STRUTTURALE

L'analisi strutturale viene effettuata con il metodo degli elementi finiti. Il metodo sopra indicato si basa sulla schematizzazione della struttura in elementi connessi solo in corrispondenza di un numero prefissato di punti denominati nodi. I nodi sono definiti dalle tre coordinate cartesiane in un sistema di riferimento globale. Le incognite del problema (nell'ambito del metodo degli spostamenti) sono le componenti di spostamento dei nodi riferite al sistema di riferimento globale (traslazioni secondo X, Y, Z, rotazioni attorno X, Y, Z). La soluzione del problema si ottiene con un sistema di equazioni algebriche lineari i cui termini noti sono costituiti dai carichi agenti sulla struttura opportunamente concentrati ai nodi:

$$K * u = F$$

dove

K = matrice di rigidezza

u = vettore spostamenti nodali

F = vettore forze nodali

Dagli spostamenti ottenuti con la risoluzione del sistema vengono quindi dedotte le sollecitazioni

e/o le tensioni di ogni elemento, riferite generalmente ad una terna locale all'elemento stesso.

Il sistema di riferimento utilizzato è costituito da una terna cartesiana destrorsa XYZ. Si assume l'asse Z verticale ed orientato verso l'alto.

Gli elementi utilizzati per la modellazione dello schema statico della struttura sono i seguenti:

Elemento tipo TRUSS	(biella-D2)
Elemento tipo BEAM	(trave-D2)
Elemento tipo MEMBRANE	(membrana-D3)
Elemento tipo PLATE	(piastra-guscio-D3)
Elemento tipo BOUNDARY	(molla)
Elemento tipo STIFFNESS	(matrice di rigidezza)
Elemento tipo BRICK	(elemento solido)
Elemento tipo SOLAIO	(macroelemento composto da più membrane)

Modellazione della geometria e proprietà meccaniche:	
nodi	1785
elementi D2 (per aste, travi, pilastri...)	44
elementi D3 (per pareti, platee, gusci...)	1832
elementi solaio	0
elementi solidi	0
Dimensione del modello strutturale [cm]:	
X min =	10.00
Xmax =	580.00
Ymin =	10.00
Ymax =	790.00
Zmin =	-172.50
Zmax =	0.00
Strutture verticali:	
Elementi di tipo asta	NO
Pilastri	NO
Pareti	SI
Setti (a comportamento membranale)	NO
Strutture non verticali:	
Elementi di tipo asta	NO
Travi	SI
Gusci	SI
Membrane	NO
Orizzontamenti:	
Solai con la proprietà piano rigido	NO
Solai senza la proprietà piano rigido	NO

Tipo di vincoli:	
Nodi vincolati rigidamente	NO
Nodi vincolati elasticamente	NO
Nodi con isolatori sismici	NO
Fondazioni puntuali (plinti/plinti su palo)	NO
Fondazioni di tipo trave	NO
Fondazioni di tipo platea	SI
Fondazioni con elementi solidi	NO

L'analisi strutturale è di tipo statica lineare, anche per quanto riguarda la valutazione dell'azione sismica.

4.2 PRINCIPALI RISULTATI PRESENTATI

Nella presente relazione di calcolo sono riportati i seguenti risultati che il progettista ritiene di interesse per la descrizione e la comprensione del modello e del comportamento della struttura:

per l'analisi modale:

- ✓ periodi dei modi di vibrare della struttura
- ✓ masse eccitate dai singoli modi
- ✓ massa eccitata totale
- ✓ deformate e sollecitazioni:
- ✓ spostamenti e rotazioni dei singoli nodi della struttura
- ✓ reazioni vincolari (nel caso siano presenti nodi vincolati rigidamente)
- ✓ pressioni sul terreno (nel caso siano presenti elementi di fondazione)
- ✓ sollecitazioni sugli elementi d2 nelle combinazioni di calcolo più significative
- ✓ tensioni sugli elementi d3 nelle combinazioni di calcolo più significative
- ✓ sollecitazioni sui macroelementi da elementi d3 nelle combinazioni di calcolo più significative

La presente relazione, oltre ad illustrare in modo esaustivo i dati in ingresso ed i risultati delle analisi in forma tabellare, riporta una serie di immagini.

Per i dati in ingresso:

- ✓ modello solido della struttura
- ✓ numerazione di nodi e degli elementi
- ✓ configurazioni di carico statiche
- ✓ configurazioni di carico sismiche con baricentri delle masse e eccentricità

per le combinazioni più significative (statisticamente più gravose per la struttura):

- ✓ configurazioni deformate
- ✓ diagrammi e involuipi delle azioni interne

- ✓ mappe delle tensioni
- ✓ reazioni vincolari
- ✓ mappe delle pressioni sul terreno

per il progetto-verifica degli elementi:

- ✓ diagrammi di armatura
- ✓ percentuali di sfruttamento
- ✓ mappe delle verifiche più significative per i vari stati limite

5 MODELLAZIONE DELLE AZIONI

Si veda il capitolo “Schematizzazione dei casi di carico” per le informazioni necessarie alla comprensione ed alla ricostruzione delle azioni applicate al modello numerico, coerentemente con quanto indicato nella parte “2.6. Azioni di progetto sulla costruzione”.

5.1 COMBINAZIONI E/O PERCORSI DI CARICO

Si veda il capitolo “Definizione delle combinazioni” in cui sono indicate le combinazioni di carico adottate e, nel caso di calcoli non lineari, i percorsi di carico seguiti.

Combinazioni dei casi di carico	
APPROCCIO PROGETTUALE	Approccio 2
Tensioni ammissibili	NO
SLU	SI
SLV (SLU con sisma)	SI
SLC	NO
SLD	NO
SLO	NO
SLU GEO A2 (per approccio 1)	NO
SLU EQU	NO
Combinazione caratteristica (rara)	SI
Combinazione frequente	SI
Combinazione quasi permanente (SLE)	SI

5.2 VERIFICHE AGLI STATI LIMITE ULTIMI

Nel capitolo relativo alla progettazione degli elementi strutturali agli SLU vengono indicate, con riferimento alla normativa adottata, le modalità ed i criteri seguiti per valutare la sicurezza della struttura nei confronti delle possibili situazioni di crisi ed i risultati delle valutazioni svolte. In via generale, oltre alle verifiche di resistenza e di spostamento, devono essere prese in considerazione verifiche nei confronti dei fenomeni di instabilità, locale e globale, di fatica, di duttilità, di degrado.

5.3 VERIFICHE AGLI STATI LIMITE DI ESERCIZIO

Nel capitolo relativo alla progettazione degli elementi strutturali agli SLU vengono indicate, con riferimento alla normativa adottata, le modalità seguite per valutare l'affidabilità della struttura nei confronti delle possibili situazioni di perdita di funzionalità (per eccessive deformazioni, fessurazioni, vibrazioni, etc.) ed i risultati delle valutazioni svolte.

6 MODELLAZIONE DELLE SEZIONI

6.1 LEGENDA TABELLA DATI SEZIONI

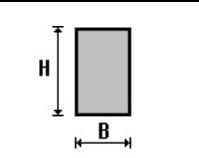
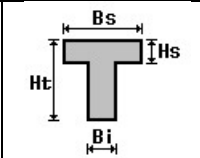
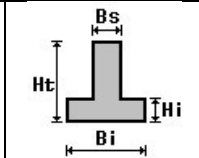
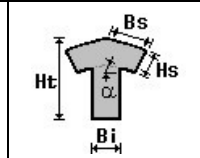
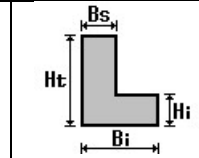
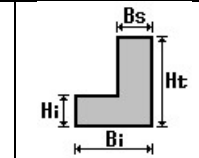
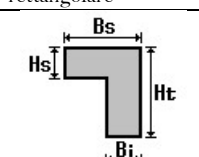
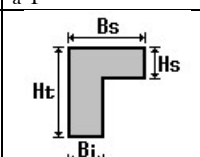
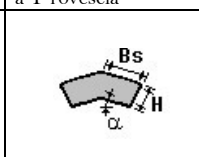
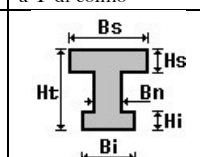
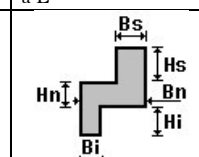
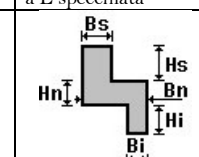
Il programma consente l'uso di sezioni diverse. Sono previsti i seguenti tipi di sezione:

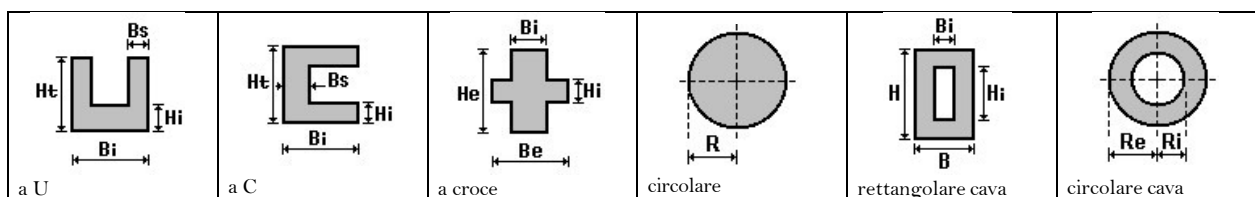
1. sezione di tipo generico
2. profilati semplici
3. profilati accoppiati e speciali

Le sezioni utilizzate nella modellazione sono individuate da una sigla identificativa ed un codice numerico (gli elementi strutturali richiamano quest'ultimo nella propria descrizione). Per ogni sezione vengono riportati in tabella i seguenti dati:

Area	area della sezione
A V2	area della sezione/fattore di taglio (per il taglio in direzione 2)
A V3	area della sezione/fattore di taglio (per il taglio in direzione 3)
Jt	fattore torsionale di rigidezza
J2-2	momento d'inerzia della sezione riferito all'asse 2
J3-3	momento d'inerzia della sezione riferito all'asse 3
W2-2	modulo di resistenza della sezione riferito all'asse 2
W3-3	modulo di resistenza della sezione riferito all'asse 3
Wp2-2	modulo di resistenza plastico della sezione riferito all'asse 2
Wp3-3	modulo di resistenza plastico della sezione riferito all'asse 3

I dati sopra riportati vengono utilizzati per la determinazione dei carichi inerziali e per la definizione delle rigidezze degli elementi strutturali; qualora il valore di Area V2 (e/o Area V3) sia nullo la deformabilità per taglio V2 (e/o V3) è trascurata. La valutazione delle caratteristiche inerziali delle sezioni è condotta nel riferimento 2-3 dell'elemento.

 rettangolare	 a T	 a T rovescia	 a T di colmo	 a L	 a L specchiata
 a L specchiata rovescia	 a L rovescia	 a L di colmo	 a doppio T	 a quattro specchiata	 a quattro



Per quanto concerne i profilati semplici ed accoppiati l'asse 2 del riferimento coincide con l'asse x riportato nei più diffusi profilari.

Per quanto concerne le sezioni di tipo generico (tipo 1.):

- ✓ i valori dimensionali con prefisso B sono riferiti all'asse 2
- ✓ i valori dimensionali con prefisso H sono riferiti all'asse 3

Id	Tipo	Area	A V2	A V3	Jt	J 2-2	J 3-3	W 2-2	W 3-3	Wp 2-2	Wp 3-3
		cm2	cm2	cm2	cm4	cm4	cm4	cm3	cm3	cm3	cm3
1	Rettangolare: b=2 h=2	4.00	3.33	3.33	2.25	1.33	1.33	1.33	1.33	2.00	2.00
2	2 LD 200x100x15 affiancati lato lungo a dist.= 10.00	86.00	0.00	0.00	64.12	1234.50	3520.00	117.57	274.00	233.96	494.60

7 MODELLAZIONE STRUTTURA: NODI

7.1 LEGENDA TABELLA DATI NODI

Ogni nodo è individuato dalle coordinate cartesiane nel sistema di riferimento globale (X Y Z).

Ad ogni nodo è eventualmente associato un codice di vincolamento rigido, un codice di fondazione speciale, ed un set di sei molle (tre per le traslazioni, tre per le rotazioni). Le tabelle sotto riportate riflettono le succitate possibilità. In particolare, per ogni nodo viene indicato in tabella:

Nodo	numero del nodo.
X	valore della coordinata X
Y	valore della coordinata Y
Z	valore della coordinata Z

Per i nodi ai quali sia associato un codice di vincolamento rigido, un codice di fondazione speciale o un set di molle viene indicato in tabella:

Nodo	numero del nodo.
X	valore della coordinata X
Y	valore della coordinata Y
Z	valore della coordinata Z
Note	eventuale codice di vincolo (es. v=110010 sei valori relativi ai sei gradi di libertà previsti per il nodo Tx, Ty, Tz, Rx, Ry, Rz, il valore 1 indica che lo spostamento o rotazione relativo è impedito, il valore 0 indica che lo spostamento o rotazione relativo è libero).
Note	(FS = 1, 2,...) eventuale codice del tipo di fondazione speciale (1, 2,... fanno riferimento alle tipologie: plinto, palo, plinto su pali,...) che è collegato al nodo. (ISO = "id SIGLA") indice e sigla identificativa dell'eventuale isolatore sismico assegnato al nodo
Rig. TX	valore della rigidezza dei vincoli elastici eventualmente applicati al nodo, nello specifico TX (idem per TY, TZ, RX, RY, RZ).

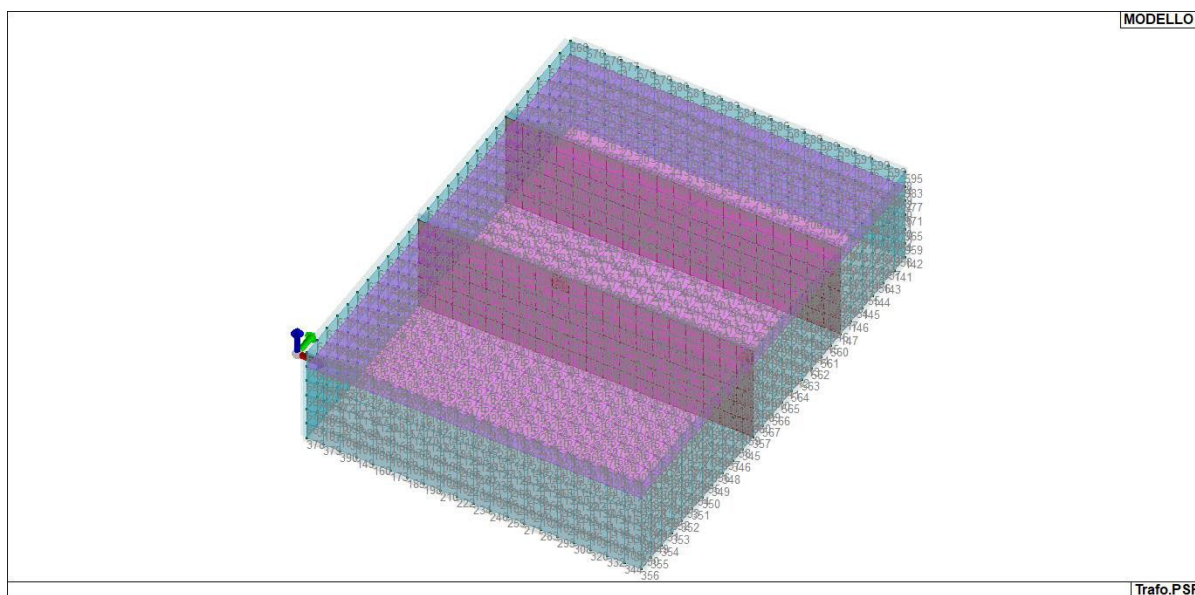
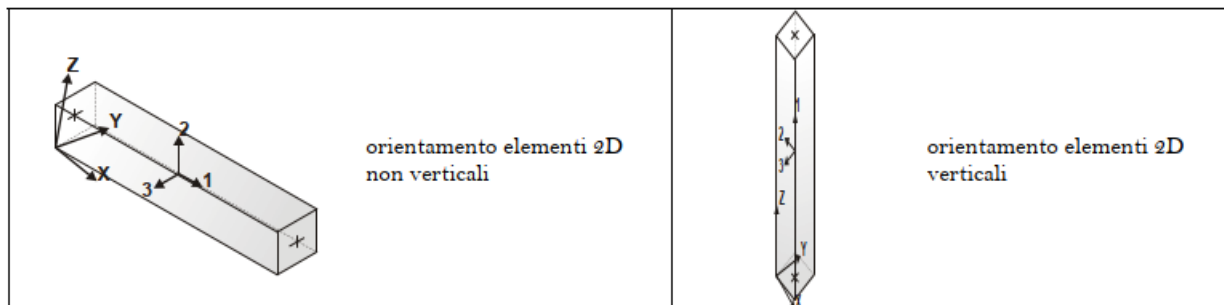


Figura 7-1 – MOD_NUMERAZIONE_NODI

8 MODELLAZIONE STRUTTURA: ELEMENTI TRAVE

8.1 TABELLA DATI TRAVI

Il programma utilizza per la modellazione elementi a due nodi denominati in generale travi. Ogni elemento trave è individuato dal nodo iniziale e dal nodo finale. Ogni elemento è caratterizzato da un insieme di proprietà riportate in tabella che ne completano la modellazione.



In particolare, per ogni elemento viene indicato in tabella:

Elem.	numero dell'elemento
Note	codice di comportamento: trave, trave di fondazione, pilastro, asta, asta tesa, asta compressa,
Nodo I (J)	numero del nodo iniziale (finale)
Mat.	codice del materiale assegnato all'elemento
Sez.	codice della sezione assegnata all'elemento
Rotaz.	valore della rotazione dell'elemento, attorno al proprio asse, nel caso in cui l'orientamento di default non sia adottabile; l'orientamento di default prevede per gli elementi non verticali l'asse 2 contenuto nel piano verticale e l'asse 3 orizzontale, per gli elementi verticali l'asse 2 diretto secondo X negativo e l'asse 3 diretto secondo Y negativo
Svincolo I (J)	codici di svincolo per le azioni interne; i primi sei codici si riferiscono al nodo iniziale, i restanti sei al nodo finale (il valore 1 indica che la relativa azione interna non è attiva)
Wink V	costante di sottofondo (coefficiente di Winkler) per la modellazione della trave su suolo elastico

Wink O	costante di sottofondo (coefficiente di Winkler) per la modellazione del suolo elastico orizzontale
---------------	---

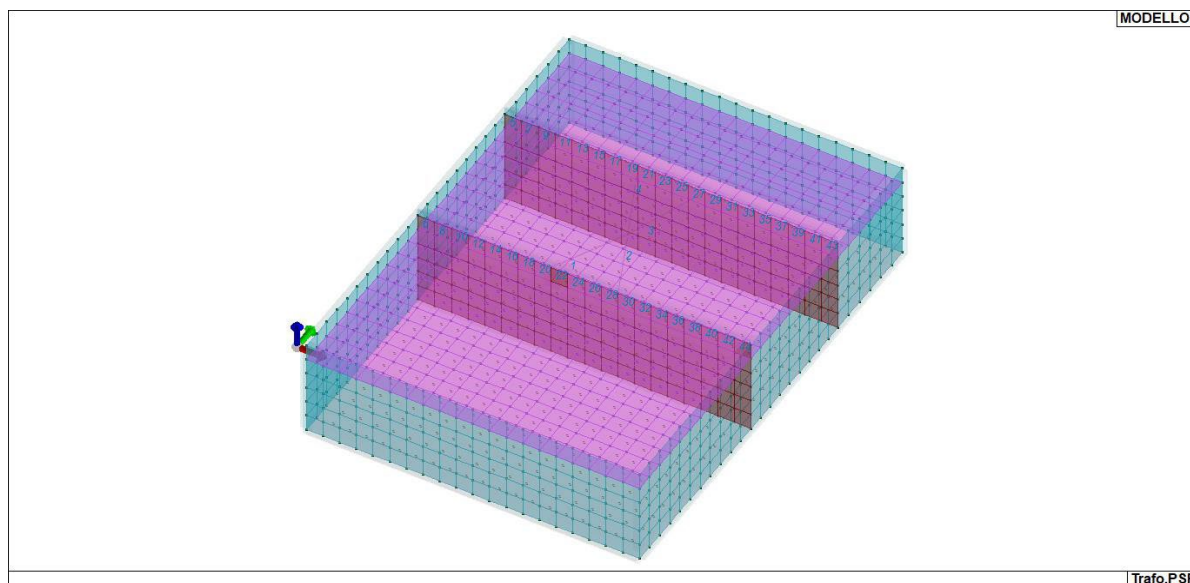


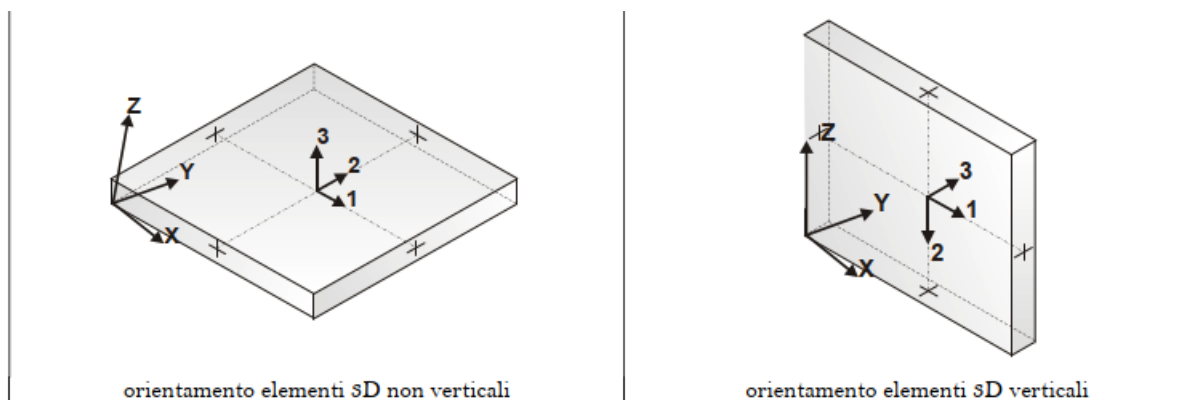
Figura 8-1 – MOD_NUMERAZIONE_D2

9 MODELLAZIONE STRUTTURA: ELEMENTI SHELL

9.1 LEGENDA TABELLA DATI SHELL

Il programma utilizza per la modellazione elementi a tre o quattro nodi denominati in generale shell. Ogni elemento shell è individuato dai nodi I, J, K, L (L=I per gli elementi a tre nodi).

Ogni elemento è caratterizzato da un insieme di proprietà riportate in tabella che ne completano la modellazione.



In particolare, per ogni elemento viene indicato in tabella:

Elem.	numero dell'elemento
Note	codice di comportamento: <i>Guscio</i> (elemento guscio in elevazione non verticale) <i>Guscio fond.</i> (elemento guscio su suolo elastico) <i>Setto</i> (elemento guscio in elevazione verticale) <i>Membrana</i> (elemento guscio con comportamento membranale)
Nodo I (J, K, L)	numero del nodo I (J, K, L)

Mat.	codice del materiale assegnato all'elemento
Spessore	spessore dell'elemento (costante)
Wink V	costante di sottofondo (coefficiente di Winkler) per la modellazione del suolo elastico verticale
Wink O	costante di sottofondo (coefficiente di Winkler) per la modellazione del suolo elastico orizzontale

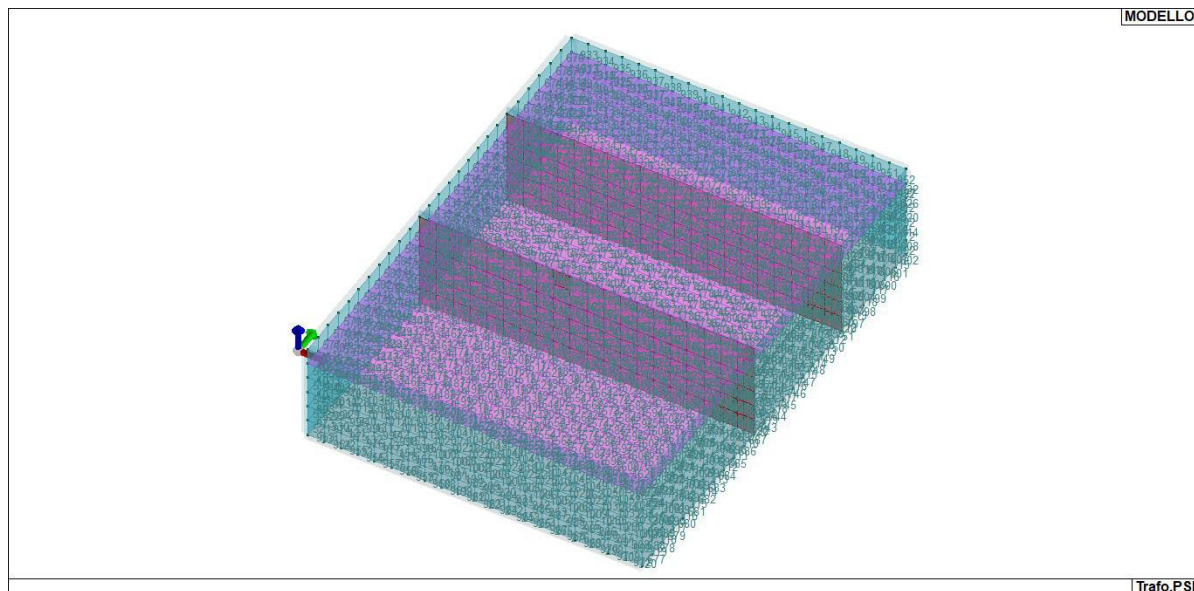


Figura 9-1 – MOD_NUMERAZIONE_D3

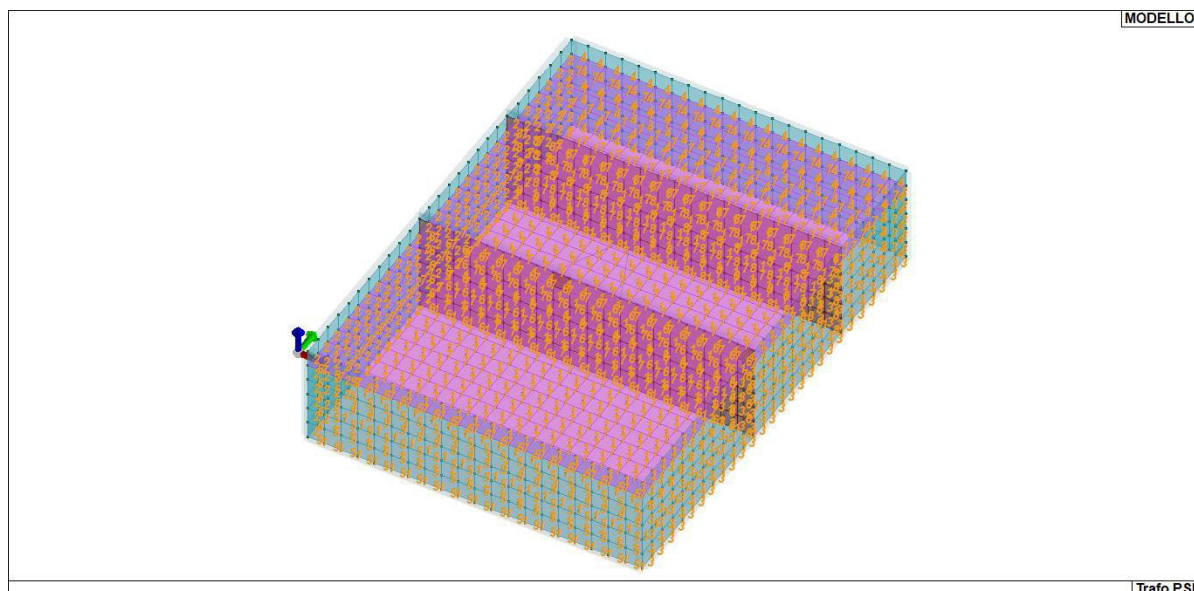


Figura 9-2 – MOD_NUMERAZIONE_D3_PARETI

10 MODELLAZIONE DELLE AZIONI

10.1 LEGENDA TABELLA DATI AZIONI

Il programma consente l'uso di diverse tipologie di carico (azioni). Le azioni utilizzate nella modellazione sono individuate da una sigla identificativa ed un codice numerico (gli elementi strutturali richiamano quest'ultimo nella propria descrizione). Per ogni azione applicata alla struttura viene di riportato il codice, il tipo e la sigla identificativa. Le tabelle successive dettagliano i valori caratteristici di ogni azione in relazione al tipo. Le tabelle riportano infatti i seguenti dati in relazione al tipo:

1	carico concentrato nodale 6 dati (forza Fx, Fy, Fz, momento Mx, My, Mz)
2	spostamento nodale impresso 6 dati (spostamento Tx, Ty, Tz, rotazione Rx, Ry, Rz)
3	carico distribuito globale su elemento tipo trave 7 dati (fx, fy, fz, mx, my, mz, ascissa di inizio carico) 7 dati (fx, fy, fz, mx, my, mz, ascissa di fine carico)
4	carico distribuito locale su elemento tipo trave 7 dati (f1, f2, f3, m1, m2, m3, ascissa di inizio carico) 7 dati (f1, f2, f3, m1, m2, m3, ascissa di fine carico)
5	carico concentrato globale su elemento tipo trave 7 dati (Fx, Fy, Fz, Mx, My, Mz, ascissa di carico)
6	carico concentrato locale su elemento tipo trave 7 dati (F1, F2, F3, M1, M2, M3, ascissa di carico)
7	variazione termica applicata ad elemento tipo trave 7 dati (variazioni termiche: uniforme, media e differenza in altezza e larghezza al nodo iniziale e finale)
8	carico di pressione uniforme su elemento tipo piastra 1 dato (pressione)
9	carico di pressione variabile su elemento tipo piastra 4 dati (pressione, quota, pressione, quota)
10	variazione termica applicata ad elemento tipo piastra 2 dati (variazioni termiche: media e differenza nello spessore)
11	carico variabile generale su elementi tipo trave e piastra 1 dato descrizione della tipologia 4 dati per segmento (posizione, valore, posizione, valore) la tipologia precisa l'ascissa di definizione, la direzione del carico, la modalità di carico e la larghezza d'influenza per gli elementi tipo trave
12	gruppo di carichi con impronta su piastra 9 dati (numero di ripetizioni in direzione X e Y, valore di ciascun carico, posizione centrale del primo, dimensioni dell'impronta, interasse tra i carichi)

Impianto per la produzione di energia elettrica da fonte eolica di potenza pari a 42 MW denominato "Marmilla"
 Comuni di Villanovaforru, Sarda, Sanluri e Furtei (SU)
 Variante in riduzione da 42 MW a 36 MW



	Carico concentrato nodale		Spostamento impresso
	Carico distribuito globale		Carico distribuito locale
	Carico concentrato globale		Carico concentrato locale
	Carico termico 2D		Carico termico 3D
	Carico pressione uniforme		Carico pressione variabile

Tipo carico concentrato nodale		Fx	Fy	Fz	Mx	My	Mz
Id	Tipo	kN	kN	kN	kN m	kN m	kN m
2	Peso Proprio-CN:Fz=-4.415e+04	0.0	0.0	-441.45	0.0	0.0	0.0
3	Carico Morsetti-CN:Fx=80.00 Fy=80.00 Fz=-80.00 Mx=4240.00 My=4240.00	0.80	0.80	-0.80	0.42	0.42	0.0
4	Vento-CN:Fx=1001.20 Fy=760.90 Mx= 1.370e+05 My= 1.802e+05	10.01	7.61	0.0	13.70	18.02	0.0
6	Sisma y-CN:Fy= 2.098e+04 Fz=-1.154e+04 Mx= 3.776e+06	0.0	209.78	-115.35	377.60	0.0	0.0
7	Sisma x-CN:Fx= 2.098e+04 Fz=-1.154e+04 My= 3.776e+06	209.78	0.0	-115.35	0.0	377.60	0.0

Tipo carico di pressione uniforme su piastra		pressione
Id	Tipo	kN/ m2
5	Sovraccarico Piastra-P3:p= 1.000e-02	1.00
9	Incremento dinamico Spinta X-P3:p= 5.000e-02	5.00
10	Incremento dinamico Spinta Y-P3:p= 5.000e-02	5.00

Tipo carico di pressione variabile su piastra		pressione	quota	pressione	quota
Id	Tipo	kN/ m2	m	kN/ m2	m
8	Spinta --PL3:pi=-5.000e-02 qi=0.0 pf=-0.19 qf=-172.50	-5.00	0.0	-19.40	-1.73

11 SCHEMATIZZAZIONE DEI CASI DI CARICO

11.1 LEGENDA TABELLA CASI DI CARICO

Sono previsti i seguenti 11 tipi di casi di carico:

	<i>Sigla</i>	<i>Tipo</i>	<i>Descrizione</i>
1	Ggk	A	caso di carico comprensivo del peso proprio struttura
2	Gk	NA	caso di carico con azioni permanenti
3	Qk	NA	caso di carico con azioni variabili
4	Gsk	A	caso di carico comprensivo dei carichi permanenti sui solai e sulle coperture
5	Qsk	A	caso di carico comprensivo dei carichi variabili sui solai
6	Qnk	A	caso di carico comprensivo dei carichi di neve sulle coperture
7	Qtk	SA	caso di carico comprensivo di una variazione termica agente sulla struttura
8	Qvk	NA	caso di carico comprensivo di azioni da vento sulla struttura
9	Esk	SA	caso di carico sismico con analisi statica equivalente
10	Edk	SA	caso di carico sismico con analisi dinamica
11	Etk	NA	caso di carico comprensivo di azioni derivanti dall' incremento di spinta delle terre in condizione sismica
12	Pk	NA	caso di carico comprensivo di azioni derivanti da coazioni, cedimenti e precompressioni

Sono di tipo automatico A (ossia non prevedono introduzione dati da parte dell'utente) i seguenti casi di carico: 1-Ggk; 4-Gsk; 5-Qsk; 6-Qnk.

Sono di tipo semi-automatico SA (ossia prevedono una minima introduzione dati da parte dell'utente) i seguenti casi di carico:

7-Qtk, in quanto richiede solo il valore della variazione termica;

9-Esk e 10-Edk, in quanto richiedono il valore dell'angolo di ingresso del sisma e l'individuazione dei casi di carico partecipanti alla definizione delle masse.

Sono di tipo non automatico NA ossia prevedono la diretta applicazione di carichi generici agli elementi strutturali (si veda il precedente punto Modellazione delle Azioni) i restanti casi di carico.

Nella tabella successiva vengono riportati i casi di carico agenti sulla struttura, con l'indicazione dei dati relativi al caso di carico stesso:

Numero Tipo e Sigla identificativa, Valore di riferimento del caso di carico (se previsto).

In successione, per i casi di carico non automatici, viene riportato l'elenco di nodi ed elementi direttamente caricati con la sigla identificativa del carico.

Per i casi di carico di tipo sismico (9-Esk e 10-Edk), viene riportata la tabella di definizione delle masse: per ogni caso di carico partecipante alla definizione delle masse viene indicata la relativa aliquota (partecipazione) considerata. Si precisa che per i casi di carico 5-Qsk e 6-Qnk la partecipazione è prevista localmente per ogni elemento solaio o copertura presente nel modello (si confronti il valore Sksol nel capitolo relativo agli elementi solaio) e pertanto la loro partecipazione è di norma pari a uno.

CDC	Tipo	Sigla Id	Note
1	Ggk	CDC=Ggk (peso proprio della struttura)	
2	Gk	CDC=G1k (Peso Trafo)	Nodo: 1785 Azione : Peso Proprio-CN:Fz=-4.415e+04
3	Qk	CDC=Qk (vento)	Nodo: 1785 Azione : Vento-CN:Fx=1001.20 Fy=760.90 Mx= 1.370e+05 My= 1.802e+05
4	Gk	CDC=G1k (Spinta Statica Terreno)	D3 :da 521 a 1072 Azione : Spinta --PL3:pi=-5.000e-02 qi=0.0 pf=-0.19 qf=-172.50

Impianto per la produzione di energia elettrica da fonte eolica di potenza pari a 42 MW denominato "Marmilla"

Comuni di Villanovaforru, Sardara, Sanluri e Furtei (SU)

Variante in riduzione da 42 MW a 36 MW



5	Esk	CDC=Es (statico SLU) alfa=0.0 (ecc. 0)	partecipazione:1.00 per 1 CDC=Ggk (peso proprio della struttura)
			partecipazione:1.00 per 2 CDC=G1k (Peso Trafo)
			partecipazione:0.80 per 3 CDC=Qk (vento)
			partecipazione:1.00 per 4 CDC=G1k (Spinta Statica Terreno)
			partecipazione:1.00 per 7 CDC=G1k (Morsetti)
			partecipazione:1.00 per 8 CDC=G1k (Sisma x)
			partecipazione:1.00 per 9 CDC=G1k (Sisma y)
			partecipazione:0.80 per 10 CDC=Qk (Sovraccarico Piastra)
6	Esk	CDC=Es (statico SLU) alfa=90.00 (ecc. 0)	come precedente CDC sismico
7	Gk	CDC=G1k (Morsetti)	Nodo: 1785 Azione : Carico Morsetti-CN:Fx=80.00 Fy=80.00 Fz=-80.00 Mx=4240.00 My=4240.00
8	Gk	CDC=G1k (Sisma x)	Nodo: 1785 Azione : Sisma x-CN:Fx= 2.098e+04 Fz=-1.154e+04 My= 3.776e+06 D3 :da 521 a 832 Azione : Incremento dinamico Spinta X-P3:p= 5.000e-02
9	Gk	CDC=G1k (Sisma y)	Nodo: 1785 Azione : Sisma y-CN:Fy= 2.098e+04 Fz=-1.154e+04 Mx= 3.776e+06 D3 :da 833 a 1072 Azione : Incremento dinamico Spinta Y-P3:p= 5.000e-02
10	Qk	CDC=Qk (Sovraccarico Piastra)	D3 : 1181 Azione : Sovraccarico Piastra-P3:p= 1.000e-02 D3 :da 1313 a 1831 Azione : Sovraccarico Piastra-P3:p= 1.000e-02

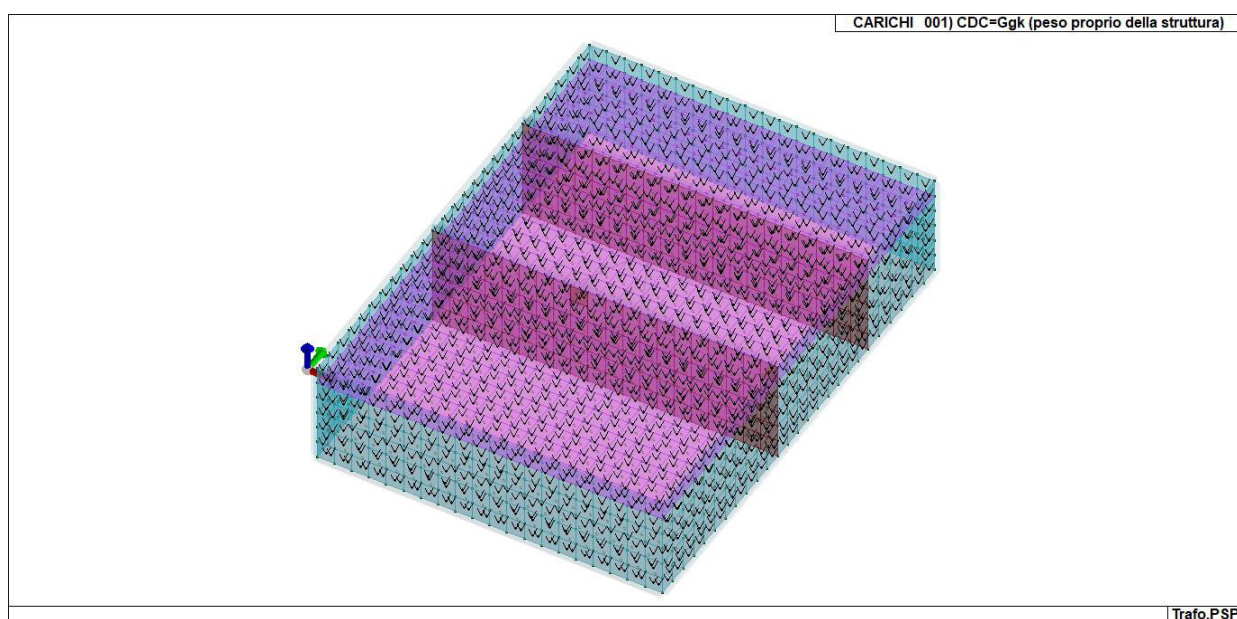


Figura 11-1 – CDC_001_CDC=Ggk (peso proprio della struttura)

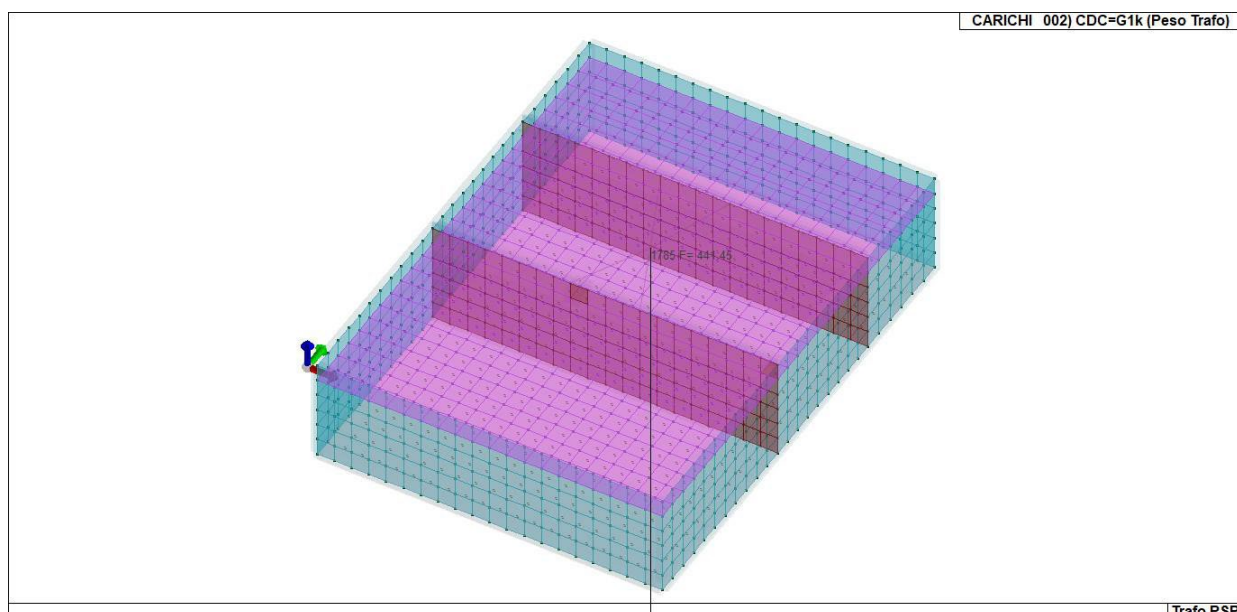


Figura 11-2 – CDC_002_CDC=G1k (Peso Trafo)

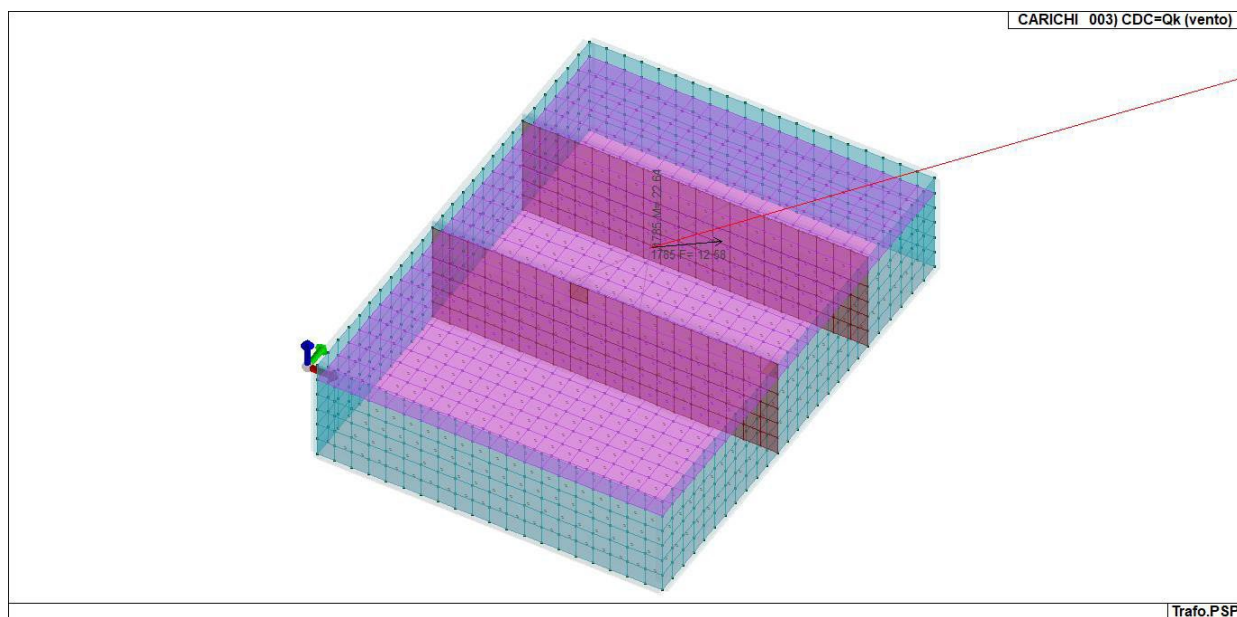


Figura 11-3 – CDC_003_CDC=Qk (vento)

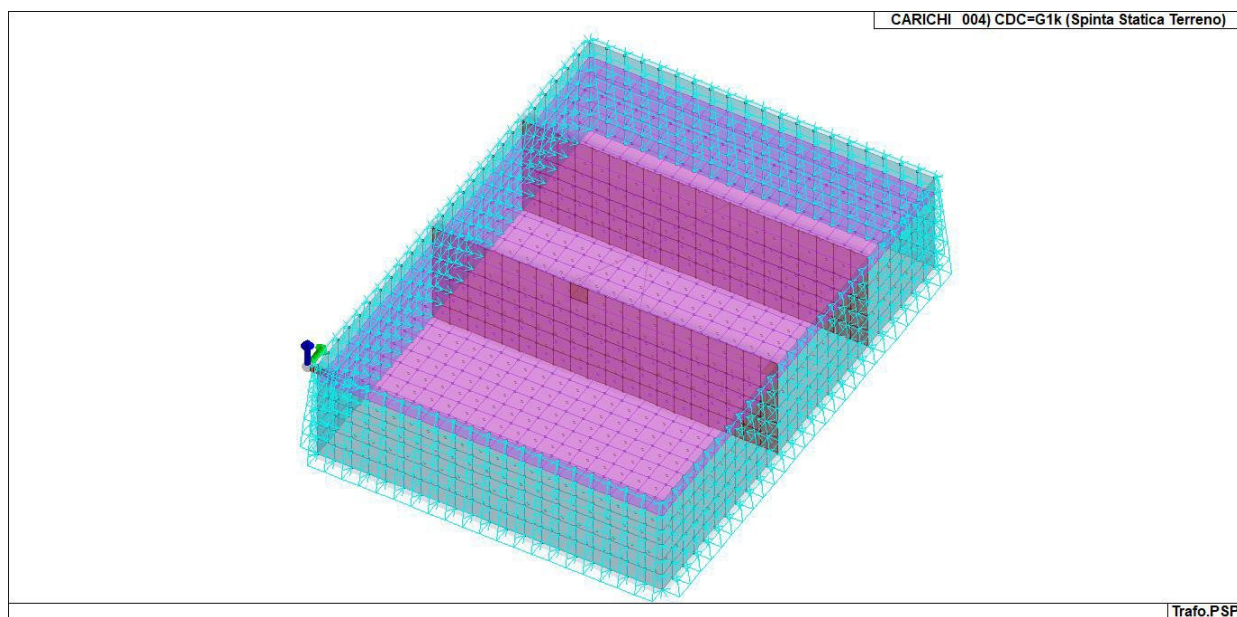


Figura 11-4 – CDC_004_CDC=G1k (Spinta Statica Terreno)

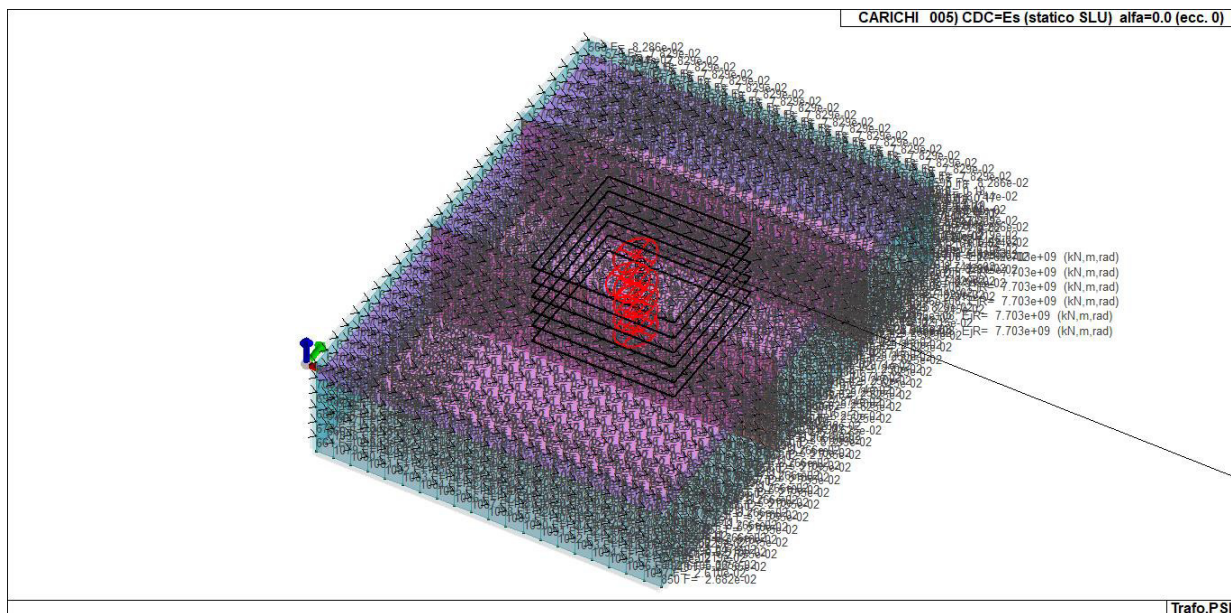


Figura 11-5 – CDC_005_CDC=Es (statico SLU) alfa=0.0 (ecc. 0)

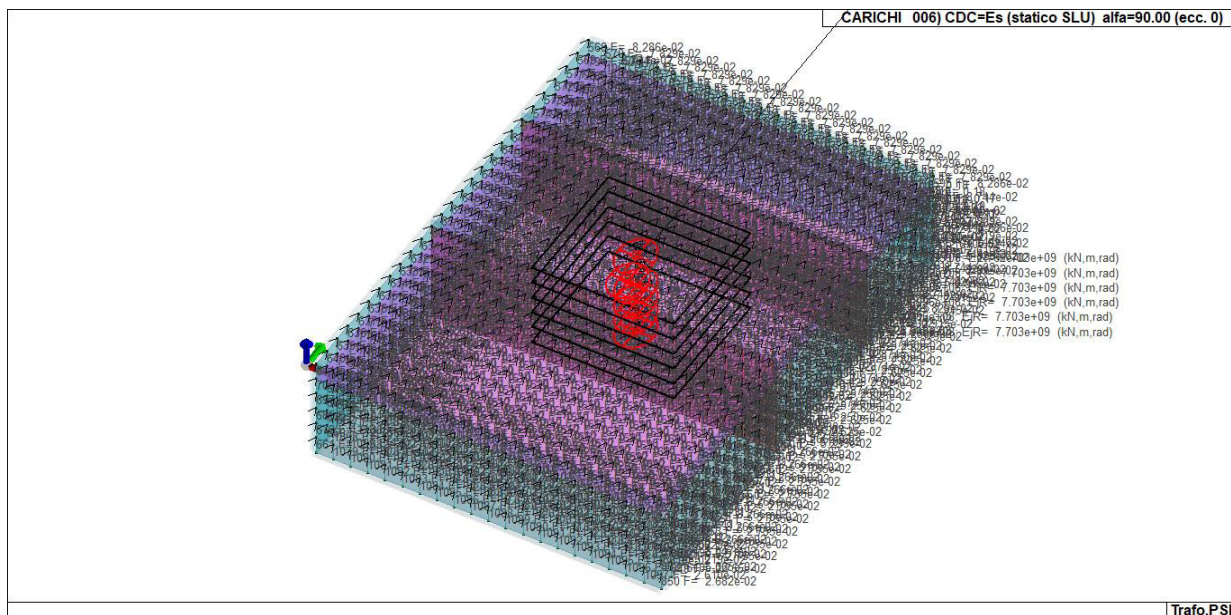


Figura 11-6 – CDC_006_CDC=Es (statico SLU) alfa=90.00 (ecc. 0)

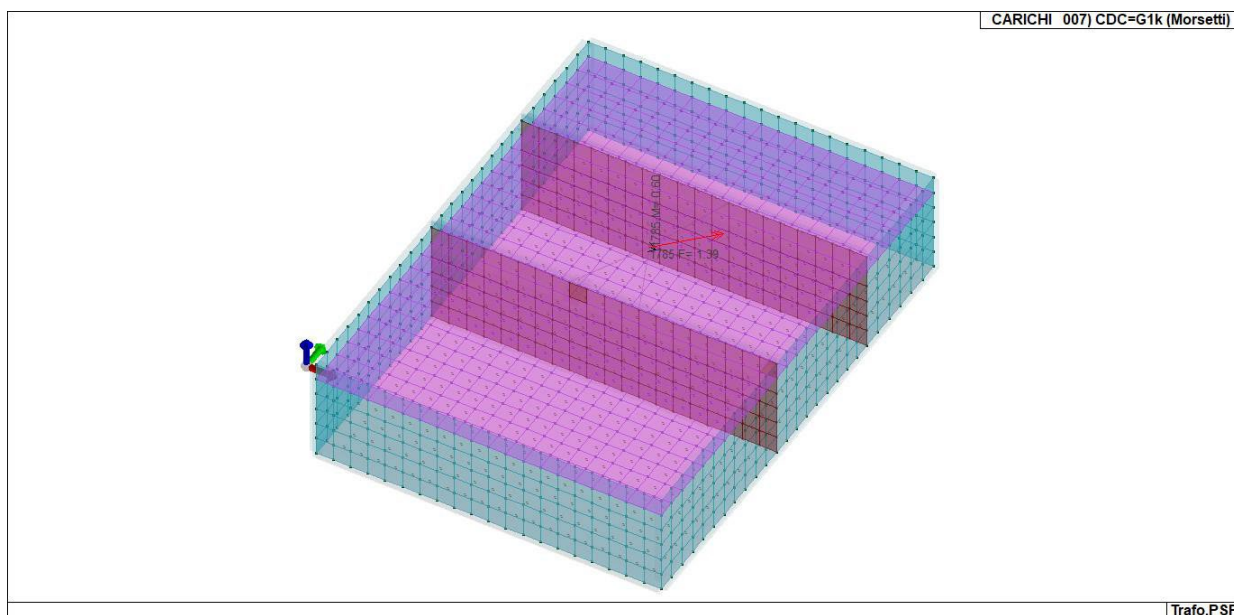


Figura 11-7 – CDC_007_CDC=G1k (Morsetti)

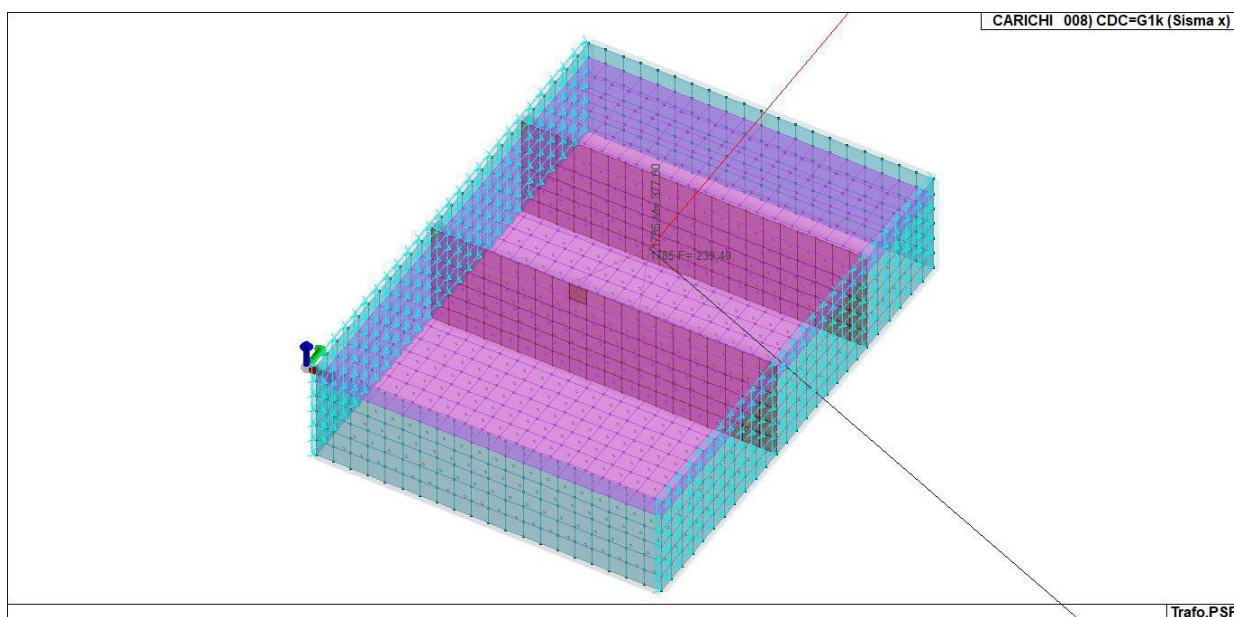


Figura 11-8 – CDC_008_CDC=G1k (Sisma x)

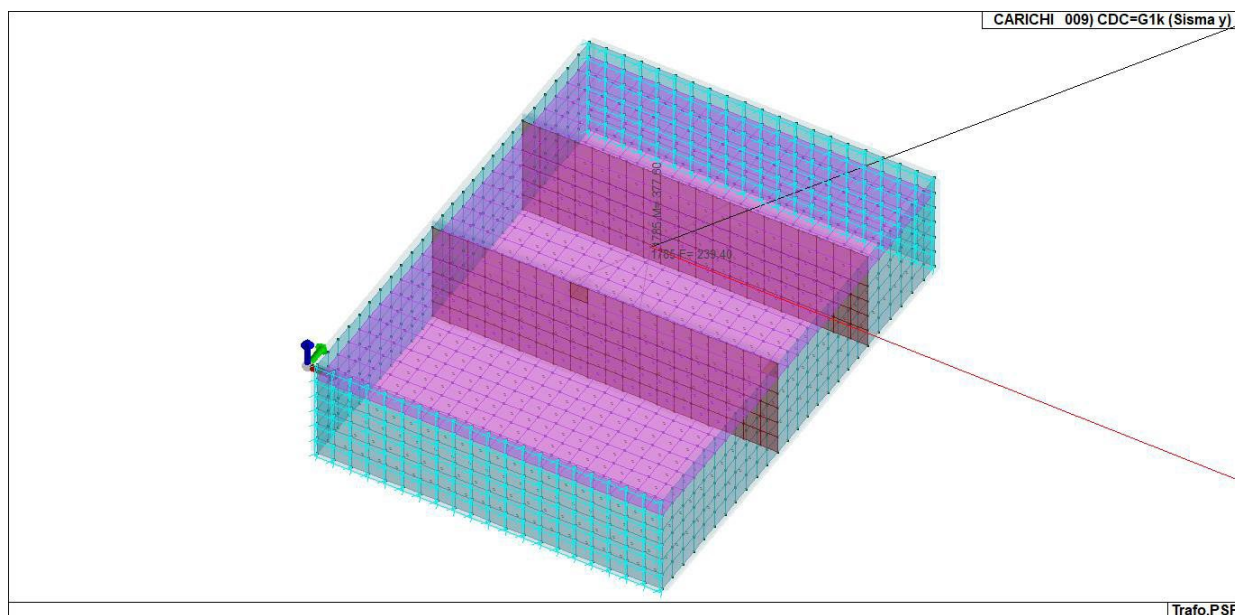


Figura 11-9 – CDC_009_CDC=G1k (Sisma y)

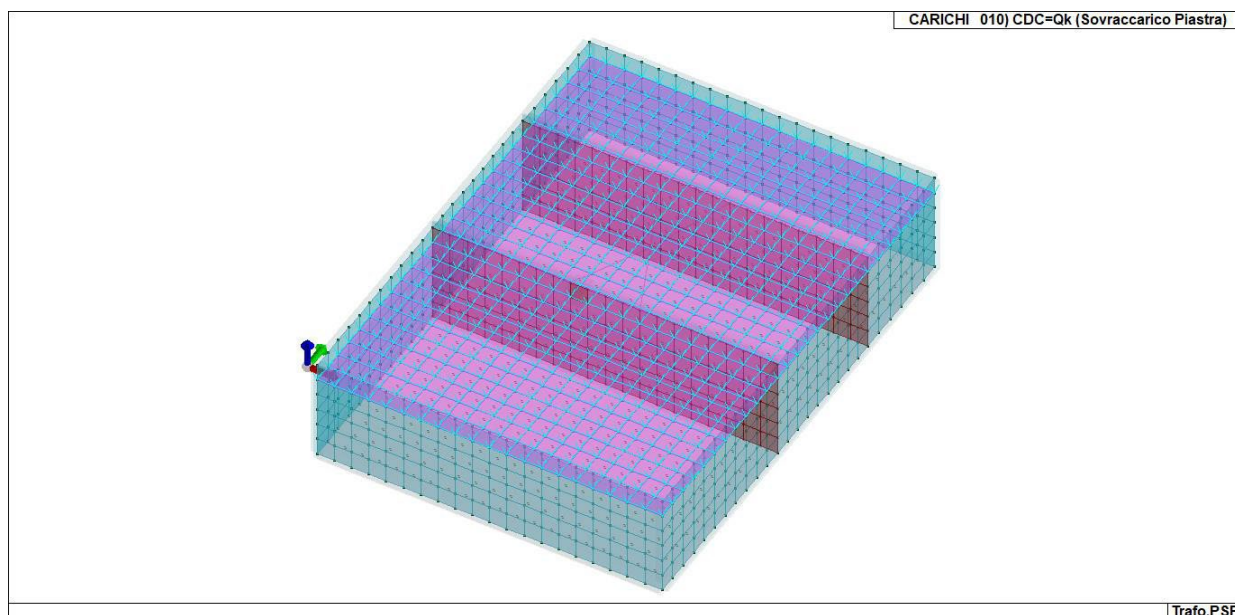


Figura 11-10 – CDC_010_CDC=Qk (Sovraccarico Piastra)

12 DEFINIZIONE DELLE COMBINAZIONI

12.1 LEGENDA TABELLA COMBINAZIONI DI CARICO

I diversi casi di carico (CDC) sono combinati secondo le combinazioni previste dalla normativa vigente. La prima tabella delle combinazioni riportata di seguito comprende le seguenti informazioni: Numero, Tipo, Sigla identificativa. Una seconda tabella riporta il peso nella combinazione assunto per ogni caso di carico.

Ai fini delle verifiche degli stati limite si definiscono le seguenti combinazioni delle azioni:

Combinazione fondamentale SLU

$$\gamma G1 \cdot G1 + \gamma G2 \cdot G2 + \gamma P \cdot P + \gamma Q1 \cdot Qk1 + \gamma Q2 \cdot \psi 02 \cdot Qk2 + \gamma Q3 \cdot \psi 03 \cdot Qk3 + \dots$$

Combinazione caratteristica (rara) SLE

$$G1 + G2 + P + Qk1 + \psi 02 \cdot Qk2 + \psi 03 \cdot Qk3 + \dots$$

Combinazione frequente SLE

$$G1 + G2 + P + \psi 11 \cdot Qk1 + \psi 22 \cdot Qk2 + \psi 23 \cdot Qk3 + \dots$$

Combinazione quasi permanente SLE

$$G1 + G2 + P + \psi 21 \cdot Qk1 + \psi 22 \cdot Qk2 + \psi 23 \cdot Qk3 + \dots$$

Combinazione sismica, impiegata per gli stati limite ultimi e di esercizio connessi all'azione sismica E

$$E + G1 + G2 + P + \psi 21 \cdot Qk1 + \psi 22 \cdot Qk2 + \dots$$

Combinazione eccezionale, impiegata per gli stati limite connessi alle azioni eccezionali

$$G1 + G2 + P + \psi 21 \cdot Qk1 + \psi 22 \cdot Qk2 + \dots$$

Dove:

NTC 2018 Tabella 2.5.I

<i>Destinazione d'uso/azione</i>	$\psi 0j$	$\psi 1j$	$\psi 2j$
<i>Categoria A residenziali</i>	0,70	0,50	0,30
<i>Categoria B uffici</i>	0,70	0,50	0,30
<i>Categoria C ambienti suscettibili di affollamento</i>	0,70	0,70	0,60
<i>Categoria D ambienti ad uso commerciale</i>	0,70	0,70	0,60
<i>Categoria E biblioteche, archivi, magazzini, ...</i>	1,00	0,90	0,80
<i>Categoria F Rimesse e parcheggi (autoveicoli <= 30kN)</i>	0,70	0,70	0,60
<i>Categoria G Rimesse e parcheggi (autoveicoli > 30kN)</i>	0,70	0,50	0,30
<i>Categoria H Coperture</i>	0,00	0,00	0,00
<i>Vento</i>	0,60	0,20	0,00
<i>Neve a quota <= 1000 m</i>	0,50	0,20	0,00
<i>Neve a quota > 1000 m</i>	0,70	0,50	0,20
<i>Variazioni Termiche</i>	0,60	0,50	0,00

Nelle verifiche possono essere adottati in alternativa due diversi approcci progettuali:

- per l'**approccio 1** si considerano due diverse combinazioni di gruppi di coefficienti di sicurezza parziali per le azioni, per i materiali e per la resistenza globale (combinazione 1 con coefficienti A1 e combinazione 2 con coefficienti A2),
- per l'**approccio 2** si definisce un'unica combinazione per le azioni, per la resistenza dei materiali e per la resistenza globale (con coefficienti A1).

NTC 2018 Tabella 2.6.I

Impianto per la produzione di energia elettrica da fonte eolica di potenza pari a 42 MW denominato "Marmilla"

Comuni di Villanovaforru, Sardara, Sanluri e Furtei (SU)

Variante in riduzione da 42 MW a 36 MW



		Coefficiente $\square f$	EQU	A1	A2
Carichi permanenti	Favorevoli	$\square G1$	0,9	1,0	1,0
	Sfavorevoli		1,1	1,3	1,0
Carichi permanenti non strutturali (Non compiutamente definiti)	Favorevoli	$\square G2$	0,8	0,8	0,8
	Sfavorevoli		1,5	1,5	1,3
Carichi variabili	Favorevoli	$\square Qi$	0,0	0,0	0,0
	Sfavorevoli		1,5	1,5	1,3

Cmb	Tipo	Sigla Id	effetto P-delta
1	SLU	Comb. SLU A1 1	
2	SLU	Comb. SLU A1 2	
3	SLU	Comb. SLU A1 3	
4	SLU	Comb. SLU A1 4	
5	SLU	Comb. SLU A1 5	
6	SLU	Comb. SLU A1 6	
7	SLU	Comb. SLU A1 7	
8	SLU	Comb. SLU A1 8	
9	SLU	Comb. SLU A1 9	
10	SLU	Comb. SLU A1 10	
11	SLU	Comb. SLU A1 (SLV sism.) 11	
12	SLU	Comb. SLU A1 (SLV sism.) 12	
13	SLU	Comb. SLU A1 (SLV sism.) 13	
14	SLU	Comb. SLU A1 (SLV sism.) 14	
15	SLU	Comb. SLU A1 (SLV sism.) 15	
16	SLU	Comb. SLU A1 (SLV sism.) 16	
17	SLU	Comb. SLU A1 (SLV sism.) 17	
18	SLU	Comb. SLU A1 (SLV sism.) 18	
19	SLE(r)	Comb. SLE(rara) 19	
20	SLE(r)	Comb. SLE(rara) 20	
21	SLE(r)	Comb. SLE(rara) 21	
22	SLE(r)	Comb. SLE(rara) 22	
23	SLE(r)	Comb. SLE(rara) 23	
24	SLE(f)	Comb. SLE(freq.) 24	
25	SLE(f)	Comb. SLE(freq.) 25	
26	SLE(f)	Comb. SLE(freq.) 26	
27	SLE(f)	Comb. SLE(freq.) 27	
28	SLE(p)	Comb. SLE(perm.) 28	
29	SLE(p)	Comb. SLE(perm.) 29	

Cmb	CDC 1/15...	CDC 2/16...	CDC 3/17...	CDC 4/18...	CDC 5/19...	CDC 6/20...	CDC 7/21...	CDC 8/22...	CDC 9/23...	CDC 10/24...
1	1.30	1.30	0.0	1.30	0.0	0.0	1.30	1.30	1.30	0.0
2	1.00	1.00	0.0	1.00	0.0	0.0	1.00	1.00	1.00	0.0
3	1.30	1.30	1.50	1.30	0.0	0.0	1.30	1.30	1.30	0.0
4	1.00	1.00	1.50	1.00	0.0	0.0	1.00	1.00	1.00	0.0
5	1.30	1.30	0.90	1.30	0.0	0.0	1.30	1.30	1.30	0.0
6	1.00	1.00	0.90	1.00	0.0	0.0	1.00	1.00	1.00	0.0
7	1.30	1.30	0.0	1.30	0.0	0.0	1.30	1.30	1.30	1.05
8	1.00	1.00	0.0	1.00	0.0	0.0	1.00	1.00	1.00	1.05
9	1.30	1.30	0.0	1.30	0.0	0.0	1.30	1.30	1.30	1.50
10	1.00	1.00	0.0	1.00	0.0	0.0	1.00	1.00	1.00	1.50
11	1.00	1.00	0.0	1.00	-1.00	-0.30	1.00	1.00	1.00	0.0
12	1.00	1.00	0.0	1.00	-1.00	0.30	1.00	1.00	1.00	0.0
13	1.00	1.00	0.0	1.00	1.00	-0.30	1.00	1.00	1.00	0.0
14	1.00	1.00	0.0	1.00	1.00	0.30	1.00	1.00	1.00	0.0
15	1.00	1.00	0.0	1.00	-0.30	-1.00	1.00	1.00	1.00	0.0
16	1.00	1.00	0.0	1.00	-0.30	1.00	1.00	1.00	1.00	0.0
17	1.00	1.00	0.0	1.00	0.30	-1.00	1.00	1.00	1.00	0.0
18	1.00	1.00	0.0	1.00	0.30	1.00	1.00	1.00	1.00	0.0
19	1.00	1.00	0.0	1.00	0.0	0.0	1.00	1.00	1.00	0.0
20	1.00	1.00	1.00	1.00	0.0	0.0	1.00	1.00	1.00	0.0
21	1.00	1.00	0.60	1.00	0.0	0.0	1.00	1.00	1.00	0.0
22	1.00	1.00	0.0	1.00	0.0	0.0	1.00	1.00	1.00	0.70
23	1.00	1.00	0.0	1.00	0.0	0.0	1.00	1.00	1.00	1.00
24	1.00	1.00	0.0	1.00	0.0	0.0	1.00	1.00	1.00	0.0
25	1.00	1.00	0.20	1.00	0.0	0.0	1.00	1.00	1.00	0.0
26	1.00	1.00	0.0	1.00	0.0	0.0	1.00	1.00	1.00	0.20
27	1.00	1.00	0.0	1.00	0.0	0.0	1.00	1.00	1.00	0.50
28	1.00	1.00	0.0	1.00	0.0	0.0	1.00	1.00	1.00	0.0
29	1.00	1.00	0.0	1.00	0.0	0.0	1.00	1.00	1.00	0.20

13 AZIONE SISMICA

13.1 VALUTAZIONE DELL' AZIONE SISMICA

L'azione sismica sulle costruzioni è valutata a partire dalla "pericolosità sismica di base", in condizioni ideali di sito di riferimento rigido con superficie topografica orizzontale.

Allo stato attuale, la pericolosità sismica su reticolo di riferimento nell'intervallo di riferimento è fornita dai dati pubblicati sul sito <http://esse1.mi.ingv.it/>. Per punti non coincidenti con il reticolo di riferimento e periodi di ritorno non contemplati direttamente si opera come indicato nell' allegato alle NTC (rispettivamente media pesata e interpolazione).

L' azione sismica viene definita in relazione ad un periodo di riferimento V_r che si ricava, per ciascun tipo di costruzione, moltiplicandone la vita nominale per il coefficiente d'uso (vedi tabella Parametri della struttura). Fissato il periodo di riferimento V_r e la probabilità di superamento P_{ver} associata a ciascuno degli stati limite considerati, si ottiene il periodo di ritorno T_r e i relativi parametri di pericolosità sismica (vedi tabella successiva):

ag: accelerazione orizzontale massima del terreno;

Fo: valore massimo del fattore di amplificazione dello spettro in accelerazione orizzontale;

T*c: periodo di inizio del tratto a velocità costante dello spettro in accelerazione orizzontale;

Parametri della struttura					
Classe d'uso	Vita V_n [anni]	Coeff. Uso	Periodo V_r [anni]	Tipo di suolo	Categoria topografica
II	50.0	0.7	35.0	B	T1

Individuati su reticolo di riferimento i parametri di pericolosità sismica si valutano i parametri spettrali riportati in tabella:

- ✓ S è il coefficiente che tiene conto della categoria di sottosuolo e delle condizioni topografiche mediante la relazione seguente $S = S_s * S_t$ (3.2.3)
- ✓ Fo è il fattore che quantifica l'amplificazione spettrale massima, su sito di riferimento rigido orizzontale
- ✓ Fv è il fattore che quantifica l'amplificazione spettrale massima verticale, in termini di accelerazione orizzontale massima del terreno ag su sito di riferimento rigido orizzontale
- ✓ Tb è il periodo corrispondente all'inizio del tratto dello spettro ad accelerazione costante.
- ✓ Tc è il periodo corrispondente all'inizio del tratto dello spettro a velocità costante.
- ✓ Td è il periodo corrispondente all'inizio del tratto dello spettro a spostamento costante.

Id nodo	Longitudine	Latitudine	Distanza
			Km
Loc.	14.032	37.590	
47627	13.994	37.584	3.403
47628	14.057	37.584	2.294
47406	14.057	37.634	5.348

Impianto per la produzione di energia elettrica da fonte eolica di potenza pari a 42 MW denominato “Marmilla”
Comuni di Villanovaforru, Sardara, Sanluri e Furtei (SU)
Variante in riduzione da 42 MW a 36 MW



47405	13.994	37.634	5.908
-------	--------	--------	-------

SL	Pver	Tr	ag	Fo	T*c
		Anni	g		sec
SLO	81.0	30.0	0.030	2.480	0.220
SLD	63.0	35.0	0.032	2.490	0.230
SLV	10.0	332.0	0.073	2.570	0.370
SLC	5.0	682.0	0.090	2.600	0.410

SL	ag	S	Fo	Fv	Tb	Tc	Td
	g				sec	sec	sec
SLO	0.030	1.200	2.480	0.585	0.109	0.328	1.722
SLD	0.032	1.200	2.490	0.605	0.113	0.339	1.730
SLV	0.073	1.200	2.570	0.935	0.166	0.497	1.891
SLC	0.090	1.200	2.600	1.056	0.180	0.539	1.962

14 RISULTATI ANALISI SISMICHE

14.1 LEGENDA TABELLA ANALISI SISMICHE

Sono previsti i seguenti casi di carico sismico:

9. Esk caso di carico sismico con analisi statica equivalente
10. Edk caso di carico sismico con analisi dinamica

Ciascun caso di carico è caratterizzato da un angolo di ingresso e da una configurazione di masse determinante la forza sismica complessiva (si rimanda al capitolo relativo ai casi di carico per chiarimenti inerenti questo aspetto).

Nella colonna Note, in funzione della norma in uso sono riportati i parametri fondamentali che caratterizzano l'azione sismica: in particolare possono essere presenti i seguenti valori:

Angolo di ingresso	Angolo di ingresso dell'azione sismica orizzontale
Fattore di importanza	Fattore di importanza dell'edificio, in base alla categoria di appartenenza
Zona sismica	Zona sismica
Accelerazione ag	Accelerazione orizzontale massima sul suolo
Categoria suolo	Categoria di profilo stratigrafico del suolo di fondazione
Fattore q	Fattore di struttura/di comportamento. Dipendente dalla tipologia strutturale
Fattore di sito S	Fattore dipendente dalla stratigrafia e dal profilo topografico
Classe di duttilità CD	Classe di duttilità della struttura – “A” duttilità alta, “B” duttilità bassa
Fattore riduz. SLD	Fattore di riduzione dello spettro elastico per lo stato limite di danno
Periodo proprio T1	Periodo proprio di vibrazione della struttura
Coefficiente Lambda	Coefficiente dipendente dal periodo proprio T1 e dal numero di piani della struttura
Ordinata spettro Sd(T1)	Valore delle ordinate dello spettro di progetto per lo stato limite ultimo, componente orizzontale (verticale Svd)
Ordinata spettro Se(T1)	Valore delle ordinate dello spettro elastico ridotta del fattore SLD per lo stato limite di danno, componente orizzontale (verticale Sve)
Ordinata spettro S (Tb-Tc)	Valore dell'ordinata dello spettro in uso nel tratto costante
numero di modi considerati	Numero di modi di vibrare della struttura considerati nell'analisi dinamica

Per ciascun caso di carico sismico viene riportato l'insieme di dati sotto riportati (le masse sono espresse in unità di forza):

1. analisi sismica statica equivalente:

1.1. quota, posizione del centro di applicazione e azione orizzontale risultante, posizione del baricentro delle rigidezze, rapporto r/L_s (per strutture a nucleo), indici di regolarità e/r secondo EC8 4.2.3.2

1.2. azione sismica complessiva

2. analisi sismica dinamica con spettro di risposta:

2.1. quota, posizione del centro di massa e massa risultante, posizione del baricentro delle rigidezze, rapporto r/L_s (per strutture a nucleo), indici di regolarità e/r secondo EC8 4.2.3.2

2.2. frequenza, periodo, accelerazione spettrale, massa eccitata nelle tre direzioni globali per tutti i modi

2.3. massa complessiva ed aliquota di massa complessiva eccitata.

Per ciascuna combinazione sismica definita SLD o SLO viene riportato il livello di deformazione ϵ_{dT} (dr) degli elementi strutturali verticali. Per semplicità di consultazione il livello è espresso anche in unità $1000 \cdot \epsilon_{dT}/h$ da confrontare direttamente con i valori forniti nella norma (es. 5 per edifici con tamponamenti collegati rigidamente alla struttura, 10.0 per edifici con tamponamenti collegati elasticamente, 3 per edifici in muratura ordinaria, 4 per edifici in muratura armata).

Qualora si applichi il D.M. 96 (vedi NOTA sul capitolo "normativa di riferimento") l'analisi sismica dinamica può essere comprensiva di sollecitazione verticale contemporanea a quella orizzontale, nel qual caso è effettuata una sovrapposizione degli effetti in ragione della radice dei quadrati degli effetti stessi. Per ciascuna combinazione sismica - analisi effettuate con il D.M. 96 (vedi NOTA sul capitolo "normativa di riferimento") - viene riportato il livello di deformazione ϵ_{dT} , ϵ_{dP} e ϵ_{dD} degli elementi strutturali verticali. Per semplicità di consultazione il livello è espresso in unità $1000 \cdot \epsilon_{dT}/h$ da confrontare direttamente con il valore 2 o 4 per la verifica.

Per gli edifici sismicamente isolati si riportano di seguito le verifiche condotte sui dispositivi di isolamento. Le verifiche sono effettuate secondo la circolare n.7/2019 del C.S.LL.PP. nelle combinazioni in SLC come previsto dal DM 17-01-2018. Per ogni combinazione è riportato il codice di verifica ed i valori utilizzati per la verifica: spostamento dE , area ridotta e dimensione A_2 , azione verticale, deformazioni di taglio dell'elastomero e tensioni nell'acciaio.

Qualora si applichi l'Ordinanza 3274 e s.m.i. le verifiche sono eseguite in accordo con l'allegato 10.A. In particolare, la tabella, per ogni combinazione di calcolo, riporta:

Nodo	Nodo di appoggio dell'isolatore
Cmb	Combinazione oggetto della verifica
Verif.	Codice di verifica ok – verifica positiva, NV – verifica negativa, ND – verifica non completata
dE	Spostamento relativo tra le due facce (amplificato del 20% per Ordinanza 3274 e smi) combinato con la regola del 30%
Ang fi	Angolo utilizzato per il calcolo dell'area ridotta A_r (per dispositivi circolari)
V	Azione verticale agente
Ar	Area ridotta efficace
Dim A2	Dimensione utile per il calcolo della deformazione per rotazione

Impianto per la produzione di energia elettrica da fonte eolica di potenza pari a 42 MW denominato "Marmilla"
Comuni di Villanovaforru, Sardara, Sanluri e Furtei (SU)
Variante in riduzione da 42 MW a 36 MW



Sig s	Tensione nell' inserto in acciaio
Gam c(a,s,t)	Deformazioni di taglio dell'elastomero
Vcr	Carico critico per instabilità

Affinché la verifica sia positiva deve essere:

- 1) $V > 0$
- 2) $Sig s < fyk$
- 3) $Gam t < 5$
- 4) $Gam s < Gam * (caratteristica dell'elastomero)$
- 5) $Gam s < 2$
- 6) $V < 0.5 Vcr$

CDC	Tipo	Sigla Id	Note
5	Esk	CDC=Es (statico SLU) alfa=0.0 (ecc. 0)	
			categoria suolo: B
			fattore di sito S = 1.200
			ordinata spettro (tratto Tb-Tc) = 0.224 g
			angolo di ingresso:0.0
			eccentricità aggiuntiva: nulla
			periodo proprio T1: 0.300 sec.
			fattore q: 1.000
			fattore per spost. mu d: 1.000
			classe di duttilità CD: B
			coefficiente Lambda: 1.000
			ordinata spettro Sd(T1): 0.224

Quota	Forza Sismica	Tot. parziale	M Sismica x g	Pos. GX	Pos. GY	E agg. X-X	E agg. Y-Y	Pos. KX	Pos. KY	(r/Ls)^2	rapp. ex/rx	rapp. ey/ry
m	kN	kN	kN	m	m	m	m	m	m			
0.0	9.93	9.93	35.79	2.95	4.32	0.0	0.0	2.95	4.47	1.700	0.0	0.040
-0.10	193.43	203.36	739.99	2.95	4.70	0.0	0.0	0.0	0.0	0.0	0.0	0.0
-0.29	55.10	258.46	238.31	2.95	4.10	0.0	0.0	2.95	4.47	1.700	0.0	0.102
-0.58	13.24	271.71	71.59	2.95	4.32	0.0	0.0	2.95	4.47	1.700	0.0	0.040
-0.86	9.93	281.64	71.59	2.95	4.32	0.0	0.0	2.95	4.47	1.700	0.0	0.040
-1.15	6.62	288.26	71.59	2.95	4.32	0.0	0.0	2.95	4.47	1.700	0.0	0.040
-1.44	3.31	291.57	71.59	2.95	4.32	0.0	0.0	2.95	4.47	1.700	0.0	0.040
Risulta	291.57		1300.45									

CDC	Tipo	Sigla Id	Note
6	Esk	CDC=Es (statico SLU) alfa=90.00 (ecc. 0)	
			categoria suolo: B
			fattore di sito S = 1.200
			ordinata spettro (tratto Tb-Tc) = 0.224 g
CDC	Tipo	Sigla Id	Note
			angolo di ingresso:90.00
			eccentricità aggiuntiva: nulla
			periodo proprio T1: 0.300 sec.
			fattore q: 1.000
			fattore per spost. mu d: 1.000
			classe di duttilità CD: B
			coefficiente Lambda: 1.000
			ordinata spettro Sd(T1): 0.224

Quota	Forza Sismica	Tot. parziale	M Sismica x g	Pos. GX	Pos. GY	E agg. X-X	E agg. Y-Y	Pos. KX	Pos. KY	(r/Ls)^2	rapp. ex/rx	rapp. ey/ry
m	kN	kN	kN	m	m	m	m	m	m			
0.0	9.93	9.93	35.79	2.95	4.32	0.0	0.0	2.95	4.47	1.700	0.0	0.040
-0.10	193.43	203.36	739.99	2.95	4.70	0.0	0.0	0.0	0.0	0.0	0.0	0.0
-0.29	55.10	258.46	238.31	2.95	4.10	0.0	0.0	2.95	4.47	1.700	0.0	0.102
-0.58	13.24	271.71	71.59	2.95	4.32	0.0	0.0	2.95	4.47	1.700	0.0	0.040
-0.86	9.93	281.64	71.59	2.95	4.32	0.0	0.0	2.95	4.47	1.700	0.0	0.040

-1.15	6.62	288.26	71.59	2.95	4.32	0.0	0.0	2.95	4.47	1.700	0.0	0.040
-1.44	3.31	291.57	71.59	2.95	4.32	0.0	0.0	2.95	4.47	1.700	0.0	0.040
Risulta	291.57		1300.45									

15 RISULTATI NODALI

15.1 LEGENDA RISULTATI NODALI

Il controllo dei risultati delle analisi condotte, per quanto concerne i nodi strutturali, è possibile in relazione alle tabelle sotto riportate.

Una prima tabella riporta infatti per ogni nodo e per ogni combinazione (o caso di carico) gli spostamenti nodali.

Una seconda tabella riporta per ogni nodo a cui sia associato un vincolo rigido e/o elastico o una fondazione speciale e per ogni combinazione (o caso di carico) i valori delle azioni esercitate dalla struttura sui vincoli (reazioni vincolari cambiate di segno).

Una terza tabella, infine, riassume per ogni nodo le sei combinazioni in cui si attingono i valori minimi e massimi della reazione Fz, della reazione Mx e della reazione My.

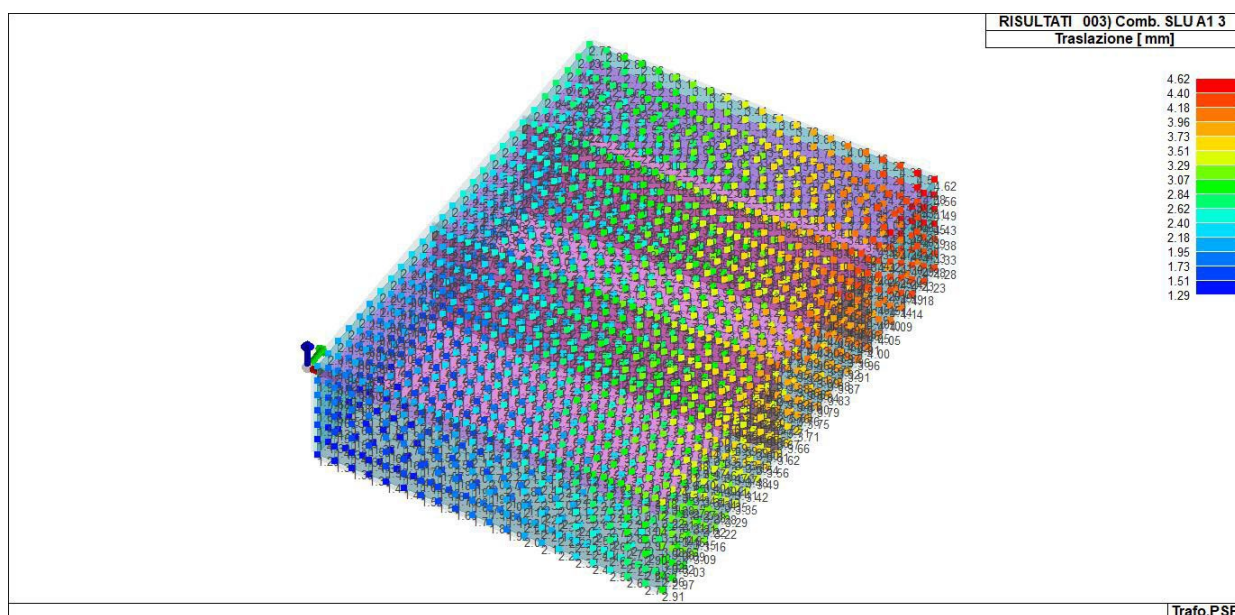


Figura 15-1 – RIS_SPOSTAMENTI_003_Comb. SLU A1 3

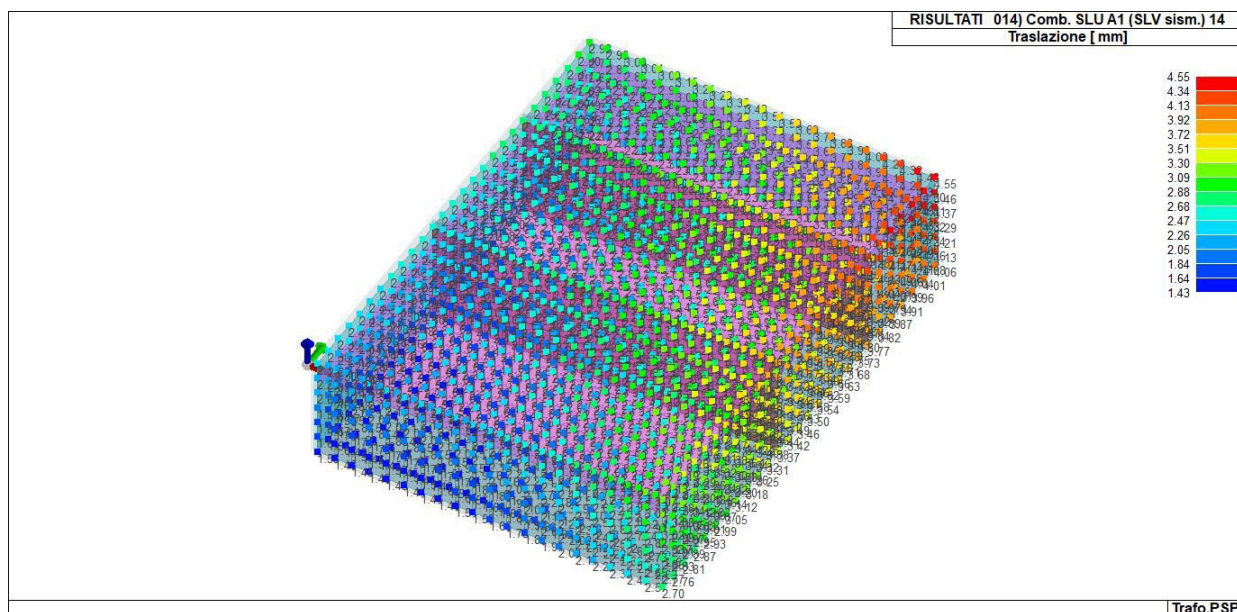


Figura 15-2 – RIS_SPOSTAMENTI_014_Comb. SLU A1 (SLV sism.) 14

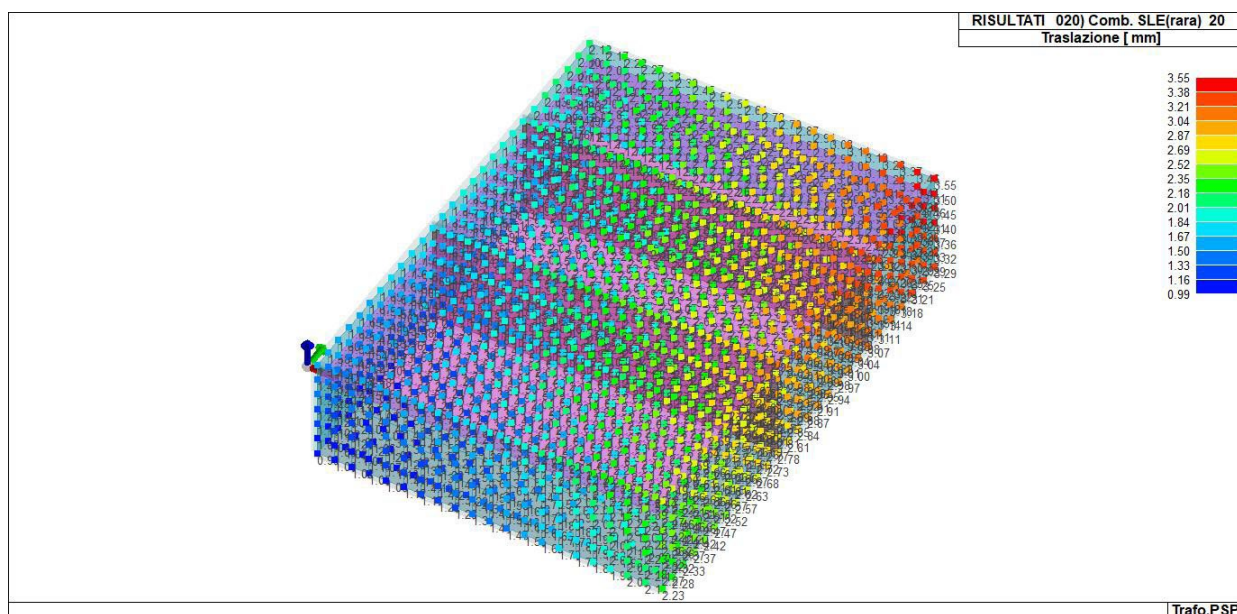


Figura 15-3 – RIS_SPOSTAMENTI_020_Comb. SLE(rara) 20

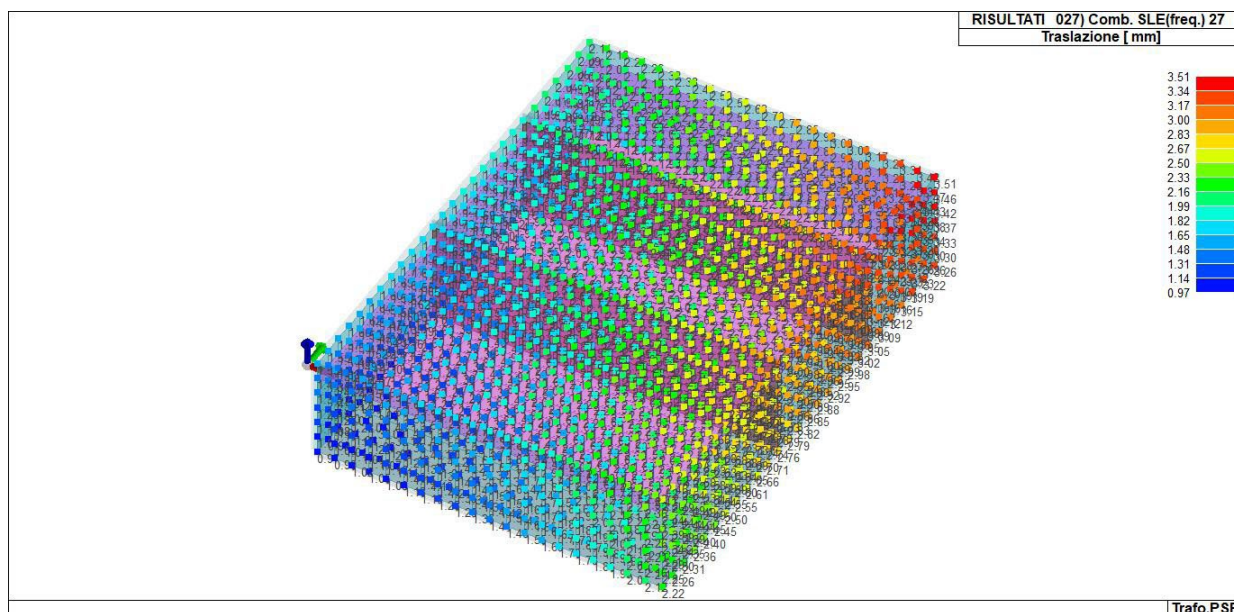


Figura 15-4 – RIS_SPOSTAMENTI_027_Comb. SLE(freq.) 27

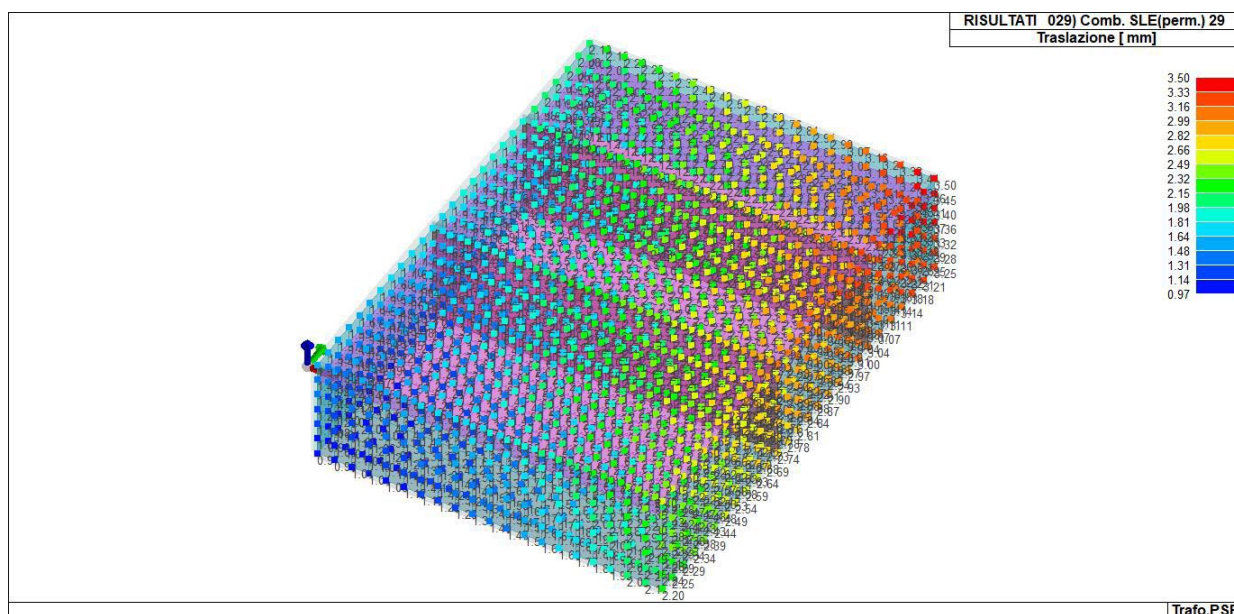


Figura 15-5 – RIS_SPOSTAMENTI_029_Comb. SLE(perm.) 29

16 RISULTATI OPERE DI FONDAZIONE

16.1 LEGENDA RISULTATI OPERE DI FONDAZIONE

Il controllo dei risultati delle analisi condotte, per quanto concerne le opere di fondazione, è possibile in relazione alle tabelle sotto riportate, riferite alle fondazioni tipo platea su suolo elastico.

Per questo tipo di fondazione vengono riportate le pressioni in ogni vertice (nodo) degli elementi costituenti la platea.

Vengono inoltre riportati, con funzione statistica, i valori massimo e minimo delle pressioni che compaiono nella tabella.

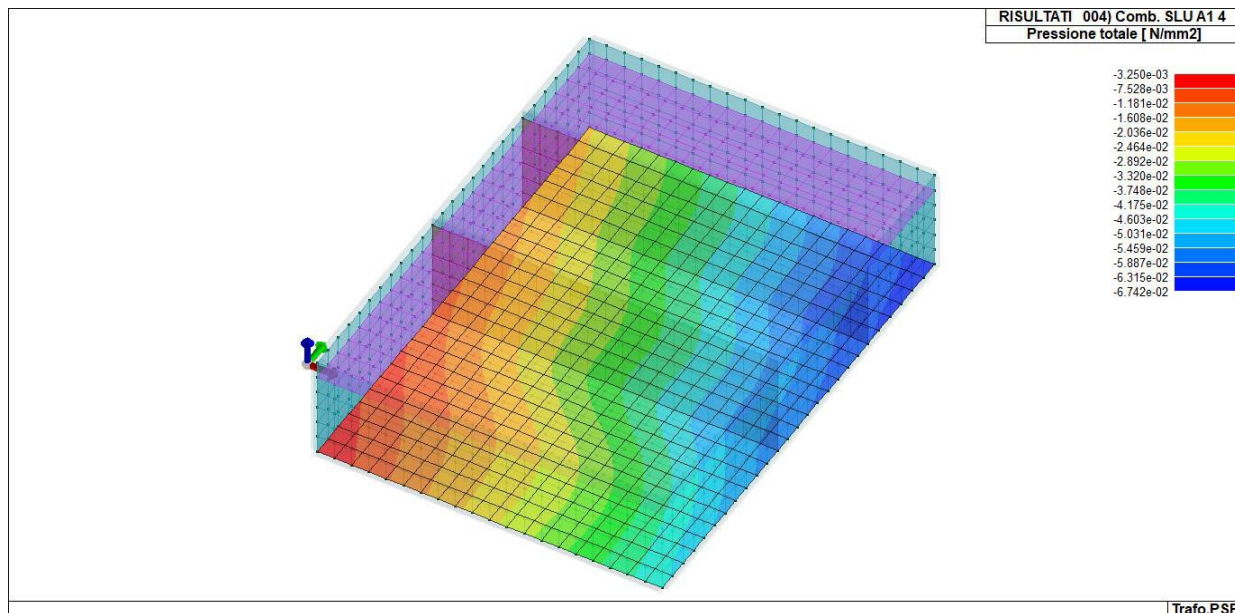


Figura 16-1 – RIS_PRESSIONI_004_Comb. SLU A1 4

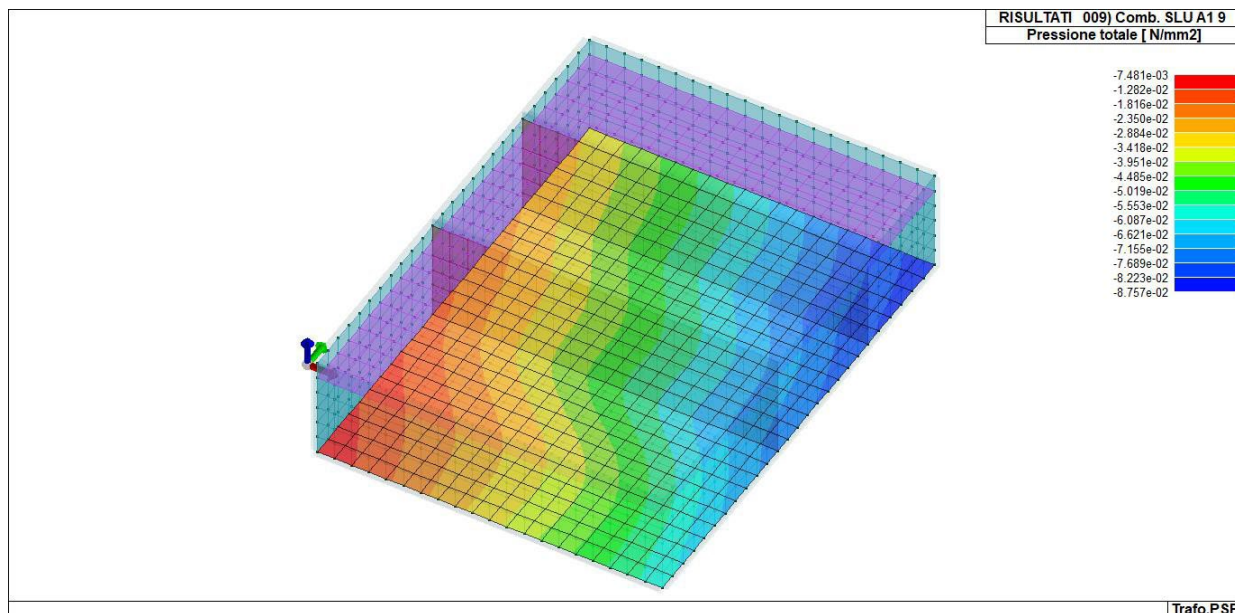


Figura 16-2 – RIS_PRESSIONI_009_Comb. SLU A1 9

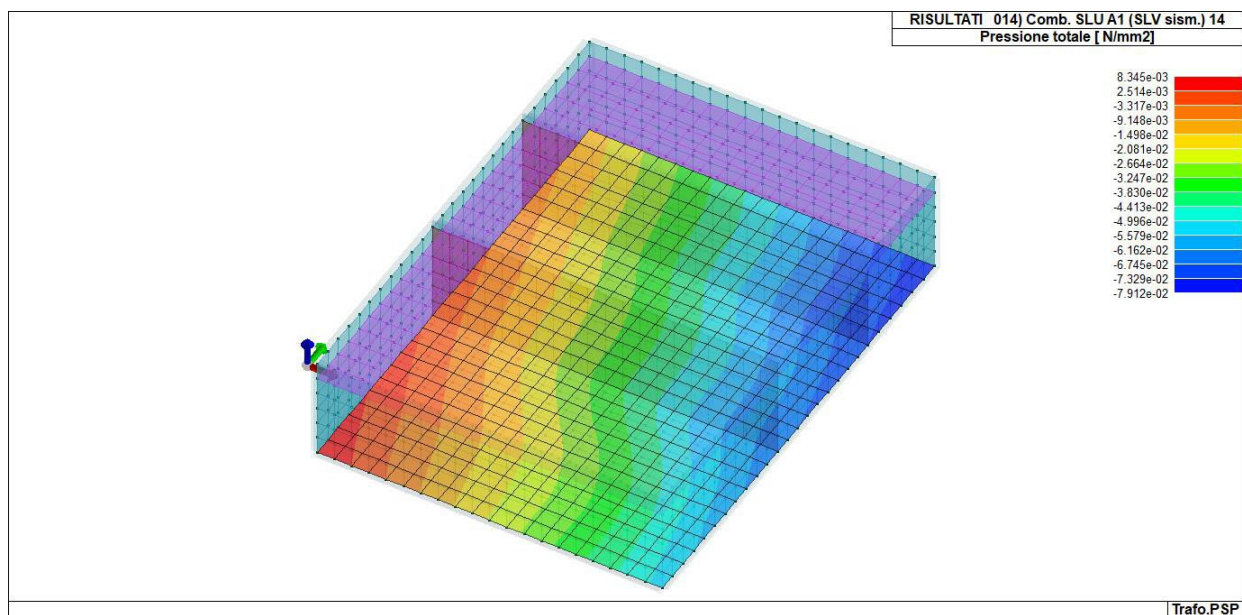


Figura 16-3 – RIS_PRESSIONI_014_Comb. SLU A1 (SLV sism.) 14

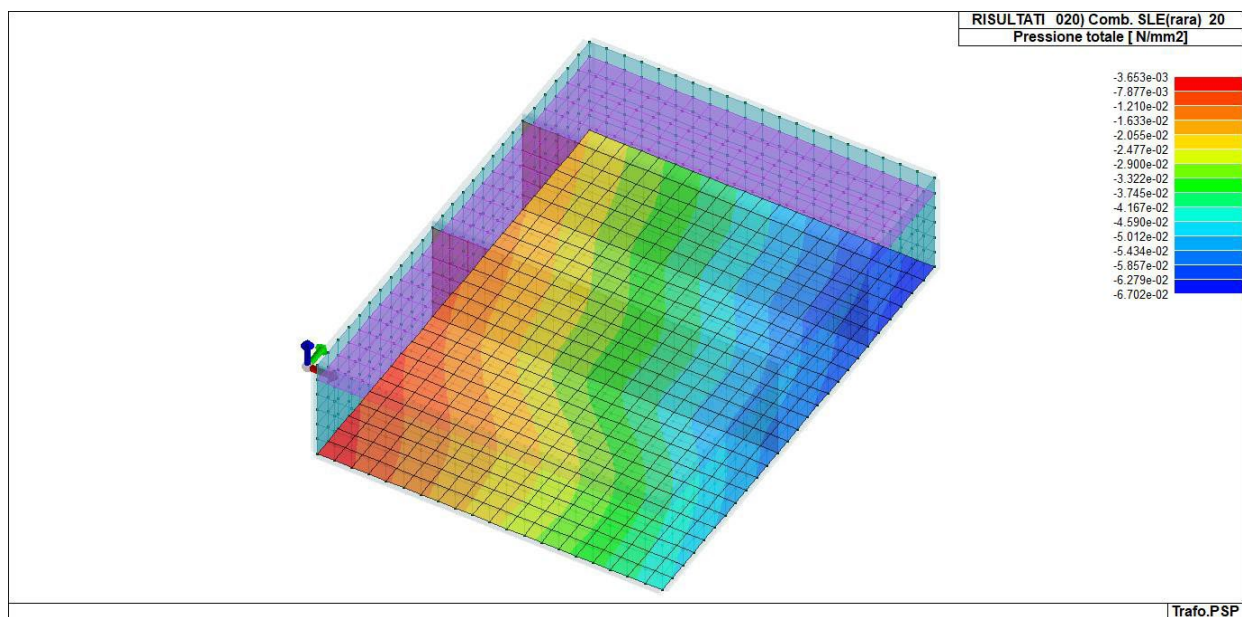


Figura 16-4 – RIS_PRESSIONI_020_Comb. SLE(rara) 20

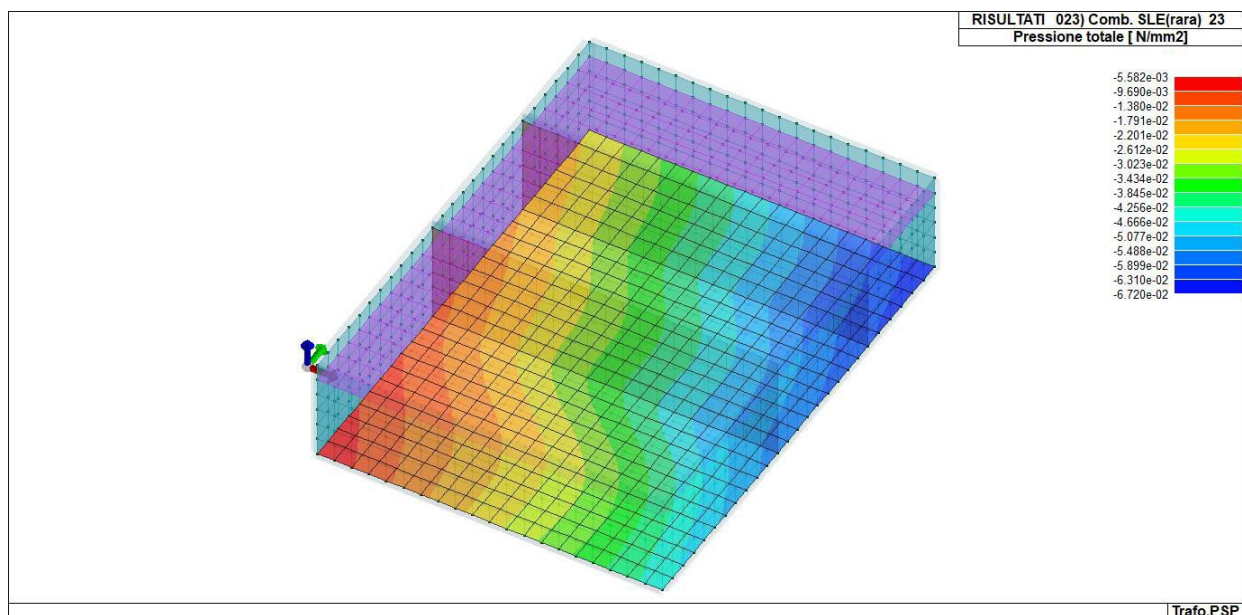


Figura 16-5 – RIS_PRESSIONI_023_Comb. SLE(rara) 23

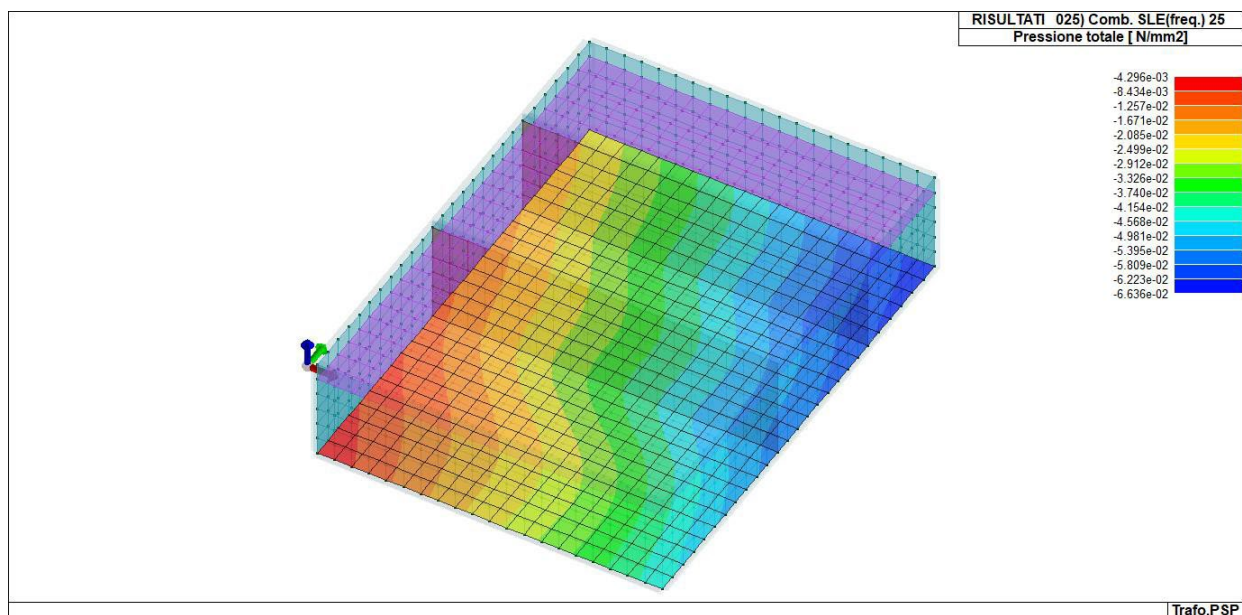


Figura 16-6 – RIS_PRESSIONI_025_Comb. SLE(freq.) 25

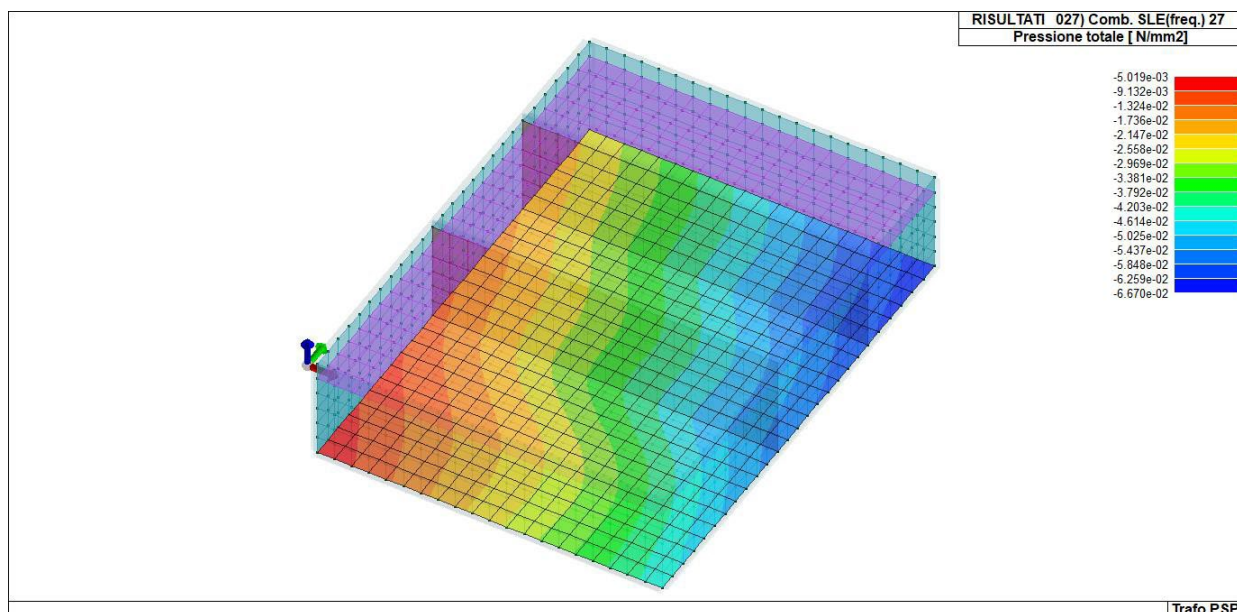


Figura 16-7 – RIS_PRESSIONI_027_Comb. SLE(freq.) 27

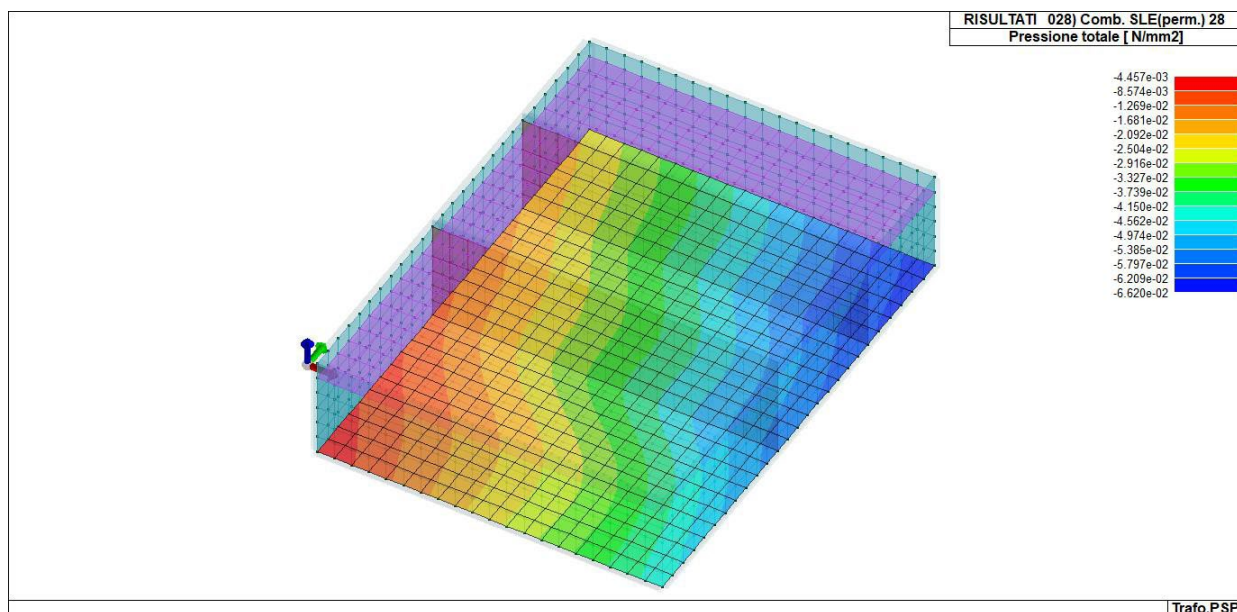


Figura 16-8 – RIS_PRESSIONI_028_Comb. SLE(perm.) 28

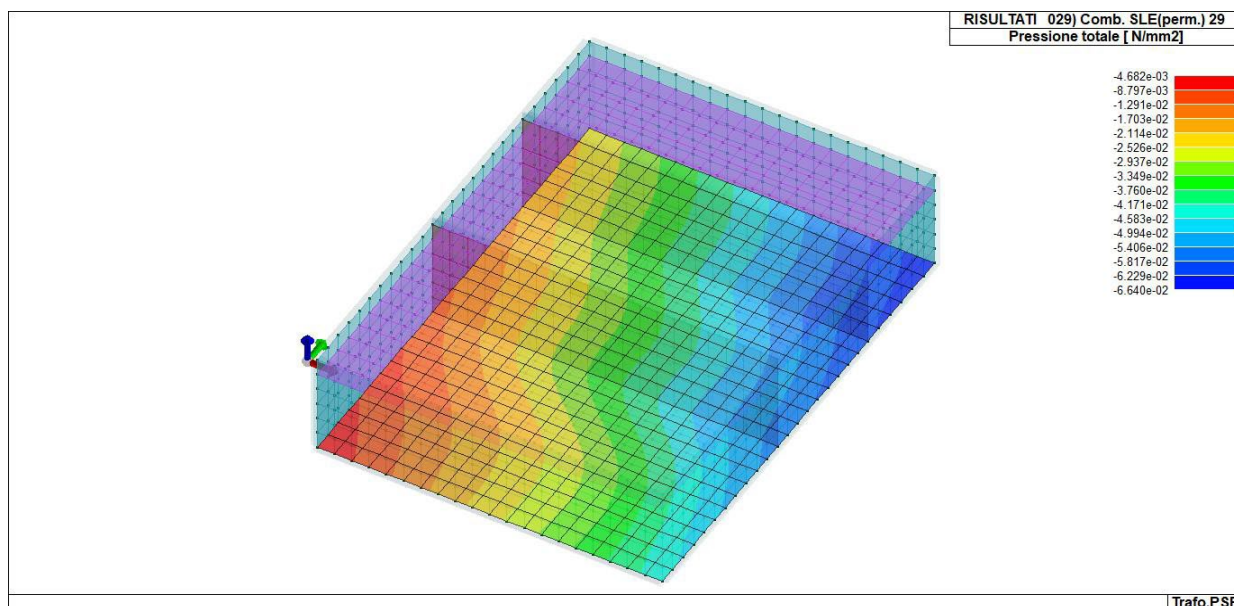


Figura 16-9 – RIS_PRESSIONI_029_Comb. SLE(perm.) 29

17 VERIFICHE ELEMENTI PARETE E/O GUSCIO IN C.A.

17.1 LEGENDA TABELLA VERIFICHE ELEMENTI PARETE E GUSCIO IN C.A.

Per le pareti in c.a., in ottemperanza al cap. 7 del DM 17-01-18, viene effettuata una doppia progettazione: sia come Singolo Elemento sia come Parete Sismica o Parete Debolmente Armata.

Per la progettazione come Singolo Elemento di ogni elemento vengono riportati il codice dello stato di verifica con le sigle Ok e NV, il rapporto x/d , la verifica per sollecitazioni ultime (verifica a compressione media gli sforzi membranali, verifica a presso-flessionale e verifica a sollecitazioni taglianti), gli sforzi membranali e flessionali, il quantitativo di armatura nella direzione principale e secondaria sia inferiore che superiore e il quantitativo di armatura a taglio.

Per la progettazione come Parete Sismica o Parete Debolmente Armata vengono riportate invece le caratteristiche geometriche della parete e delle zone dissipative (quest'ultime solo nel caso di parete sismica), i coefficienti di verifica a compressione assiale, presso-flessione e sollecitazioni taglianti.

Vengono riportate per ogni quota significativa l'armatura principale e secondaria, l'armatura in zona confinata (solo per parete sismica) e non confinata, l'armatura concentrata all'estremità (per pareti debolmente armate), lo sforzo assiale aggiuntivo per q superiore a 2 e i valori di involuppo di taglio e momento. Per le pareti debolmente armate viene riportato anche lo stato di verifica relativo alla snellezza.

Le azioni derivate dall'analisi, in ogni combinazione di calcolo, sono elaborate come previsto al punto 7.4.4.5.1: traslazione del momento, incremento e variazione diagramma taglio, incremento e decremento sforzo assiale

La progettazione nel caso dei gusci viene effettuata una progettazione come Singolo Elemento, riportando in tabella il rapporto x/d , la verifica per sollecitazioni ultime, (verifica a compressione media gli sforzi membranali, verifica a presso-flessionale e verifica a sollecitazioni taglianti) di ogni elemento. Per ogni elemento, viene riportata inoltre la maglia di armatura necessaria in

relazione alle risultanze della progettazione dei nodi dell’elemento stesso. Le quantità di armature necessarie sono armature (disposte rispettivamente in direzione principale e secondaria, inferiore e superiore) distribuite nell’elemento ed espresse in centimetri quadri per sviluppo lineare pari ad un metro.

Nel caso dei gusci viene effettuata, inoltre, la verifica a punzonamento, riportando in tabella il codice dello stato di verifica, il coefficiente di verifica per piastre prive di armature a taglio lungo il perimetro resistente e lungo il perimetro del pilastro, coefficiente di incremento dovuto ai momenti flettenti, fattore di amplificazione per le fondazioni, il fattore di amplificazione dell’altezza utile per individuare il perimetro di verifica lungo il quale l’armatura a taglio non è richiesta, il quantitativo di armatura a punzonamento, il numero di serie di armature, il numero di braccia di armatura ed il riferimento alla combinazione più gravosa.

Simbologia adottata nelle tabelle di verifica

Per gli elementi con progettazione “Singolo Elemento ...” è presente una tabella con i simboli di seguito descritti:

Macro Guscio	Numero del macroelemento di tipo guscio (elementi non verticali contigui ed analoghi per proprietà)
Macro Setto	Numero del macroelemento di tipo setto (elementi verticali contigui ed analoghi per proprietà)
Spessore	Spessore della parete
Id Materiale	Codice del materiale assegnato all’elemento
Id Criterio	Codice del criterio di progetto assegnato all’elemento
Progettazione	Sigla tipo di Elemento: - Singolo Elemento; - Singolo Elemento FONDAZIONE; - Singolo Elemento NON DISSIPATIVO

Per gli elementi con progettazione “Parete Sismica o Parete Debolmente Armata” è presente una tabella con i simboli di seguito descritti:

Parete	Numero della PARETE SISMICA
Parete PDA	Numero della PARETE DEBOLMENTE ARMATA
H totale	Altezza complessiva della parete
Spessore	Spessore della parete
H critica	Altezza come da punto 7.4.4.5.1 per traslazione momento (solo in Parete Sismica)
H critica V	Altezza della zona dissipativa (solo in Parete Sismica)
L totale	Larghezza di base della parete
L confinata	Lunghezza della zona dissipativa (solo in Parete Sismica)

Verif. N	Verifica di cui al punto 7.4.4.5.1 compressione semplice
Verif. N-M	Verifica di cui al punto 7.4.4.5.1 pressoflessione
Fattore V	Fattore di amplificazione del taglio di cui al punto 7.4.4.5.1
Diagramma V	Diagramma elaborato per effetto modi superiori come da fig. 7.4.4
Verif. V	Verifica di cui al punto 7.4.4.5.1 taglio (compressione cls, trazione acciaio, scorrimento in zona critica) (solo in Parete Sismica)
Verifica Snellezza	Verifica di cui al punto 7.4.4.5.1 limitazione compressione per prevenire l’instabilità (solo in Parete Debolmente Armata)
Prog. composta	Sigla per la progettazione composta

Per le verifiche degli elementi con progettazione “Singolo Elemento ...” e Progettazione Composta è presente una tabella con i simboli di seguito descritti:

Nodo	numero del nodo
Stato	codice di verifica dell’elemento ok o NV
x/d	rapporto tra posizione dell’asse neutro e altezza utile alla rottura della sezione (per sola flessione)

Impianto per la produzione di energia elettrica da fonte eolica di potenza pari a 42 MW denominato “Marmilla”
Comuni di Villanovaforru, Sardara, Sanluri e Furtei (SU)
Variante in riduzione da 42 MW a 36 MW



V N/M	Verifica delle sollecitazioni Normali (momento e sforzo normale)
Ver. rid	Rapporto Nd/Nu (Nu ottenuto con riduzione del 25% di fcd)
Af pr+	quantità di armatura richiesta in direzione principale relativa alla faccia positiva (estradosso piastre) (valore derivante da calcolo o minimo normativo)
Af pr-	quantità di armatura richiesta in direzione principale relativa alla faccia negativa (intradosso piastre) (valore derivante da calcolo o minimo normativo)
Af sec+	quantità di armatura richiesta in direzione secondaria relativa alla faccia positiva (estradosso piastre) (valore derivante da calcolo o minimo normativo)
Af sec-	quantità di armatura richiesta in direzione secondaria relativa alla faccia negativa (intradosso piastre) (valore derivante da calcolo o minimo normativo)
Nz No Nzo	Sforzi membranali per pareti e/o setti verticali
Mz Mo Mzo	Sforzi flessionali per pareti e/o setti verticali
Nx Ny Nxy	Sforzi membranali per gusci orizzontali
Mx My Mxy	Sforzi flessionali per gusci orizzontali

Nodo	numero del nodo
Stato	codice di verifica dell'elemento ok o NV
Max tau	Tensione tangenziale Massima
Ver V pr	Verifica a taglio nella direzione principale lato calcestruzzo
Ver V sec	Verifica a taglio nella direzione secondaria lato calcestruzzo
Af V pr	Armatura nella direzione principale
V pr-	Verifica dell'armatura nella direzione principale
Af V sec	Armatura nella direzione secondaria
V sec-	Verifica dell'armatura nella direzione secondaria

Per le verifiche degli elementi con progettazione “Parete Sismica o Parete Debolmente Armata”, oltre alla tabella con le verifiche per gli elementi con progettazione “Singolo Elemento ...”, è presente una tabella con i simboli di seguito descritti:

Quota	Ascissa verticale di riferimento
Af conf.	Numero e diametro armatura presente in una zona confinata
Af std	Diametro e passo armatura in zona non confinata (doppia maglia)
Af estremi	Diametro dei ferri di estremità del pannello; se posto uguale 0, viene utilizzato il diametro standard
Af V (ori)	Diametro e passo armatura orizzontale (doppia maglia)
Ver. N	Rapporto tra azione di calcolo e resistenza a compressione (normalizzato a 1 in quanto da confrontare con 40% in CDB e 35 % in CDA)
Ver. N/M	Rapporto tra azione di calcolo e resistenza a pressoflessione
Ver. V acc(7)	Rapporto tra azione di calcolo e resistenza a taglio-trazione per alfaS minore di 2 secondo paragrafo 7.4.4.5.1
Ver. V cls	Rapporto tra azione di calcolo e resistenza a taglio-compressione
Ver. V acc	Rapporto tra azione di calcolo e resistenza a taglio-trazione
Ver. V scorr.	Rapporto tra azione di calcolo e resistenza a taglio scorrimento
N add	Sforzo assiale di cui al punto 7.4.4.5.1 da sommare e sottrarre nelle verifiche quando q supera 2
N invil M invil	Inviluppo del Momento e Sforzo Normale come al punto 7.4.4.5.1 (informativo) (solo in Parete Sismica)

Quota	Ascissa verticale di riferimento
N v.N	Valore dello sforzo assiale per cui Ver. N attinge il massimo valore
N v.M/N, M v.M/N	Valore dello sforzo assiale e momento per cui Ver. N/M attinge il massimo valore
N v.M/N, M v.M/N Mo v.M/N	Valore dello sforzo assiale e dei momenti per cui Ver. N/M attinge il massimo valore (per le pareti estese debolmente armate)
N v.Vcls, V v.Vcls,	Valore dello sforzo assiale e taglio per cui Ver. V. cls attinge il massimo valore
N v.Vacc, M v.Vacc, V v.Vacc,	Valore dello sforzo assiale, momento e taglio per cui Ver. V. acc attinge il massimo valore
N v.Vscorr, M v.Vscorr, V v.Vscorr,	Valore dello sforzo assiale, momento e taglio per cui Ver. V. scorr.e
N v.N	Valore dello sforzo assiale per cui Ver. N attinge il massimo valore

N v.M/N, M v.M/N	Valore dello sforzo assiale e momento per cui Ver. N/M attinge il massimo valore
N v.M/N, M v.M/N Mo v.M/N	Valore dello sforzo assiale e dei momenti per cui Ver. N/M attinge il massimo valore (per le pareti estese debolmente armate)
N v.Vcls, V v.Vcls,	Valore dello sforzo assiale e taglio per cui Ver. V. cls attinge il massimo valore

Quota	Ascissa verticale di riferimento
CtgT Vcls	Valore di ctg(teta) adottato nella verifica V compressione cls
Vrsd Vcls	Valore della resistenza a taglio trazione (armatura di calcolo)
Vrcd Vcls	Valore della resistenza a taglio compressione
CtgT Vacc	Valore di ctg(teta) adottato nella verifica V trazione armatura
Vrsd Vacc	Valore della resistenza a taglio trazione (armatura presente)
Vrcd Vacc	Valore della resistenza a taglio compressione
Vdd	Valore del contributo alla resistenza allo scorrimento come da [7.4.20]
Vid	Valore del contributo alla resistenza allo scorrimento come da [7.4.21]
A s.i.	Somma delle aree di armature
Incli.	Angolo di inclinazione delle armature
Dist.	Distanza alla base tra le armature inclinate

Quota	Ascissa verticale di riferimento
V[7.4.16]	Verifica a taglio-trazione dell'armatura dell'anima (7.4.16)
N M V	Sollecitazioni di calcolo della condizione più gravosa
Alfas	Rapporto di Taglio
Vrd,c	Resistenza a taglio degli elementi non armati
VRd,s	Resistenza a taglio nei confronti dello scorrimento
V[7.4.17]	Verifica a taglio-trazione dell'armatura dell'anima (7.4.17)
roH	Rapporto tra l'armatura orizzontale e l'area della sezione relativa di calcestruzzo
roV	Rapporto tra l'armatura verticale e l'area della sezione relativa di calcestruzzo
roN	Sforzo normale adimensionalizzato Ned/(bw fyd)

Per la verifica a Punzonamento è presente una tabella con i simboli di seguito descritti:

Nodo	numero del nodo
Stato	codice di verifica dell'elemento ok o NV
V. 6.47	Fattore di sicurezza per la verifica per piastre prive di armature a taglio lungo il perimetro resistente U1
V. 6.53	Fattore di sicurezza per la verifica per piastre prive di armature a taglio lungo il perimetro del pilastro U0
Beta	Fattore di incremento dovuto ai momenti flettenti
f. a fon	fattore di amplificazione per le fondazioni (solo per gusci di fondazione)
f. Uout	fattore di amplificazione dell'altezza utile per individuare il perimetro di verifica lungo il quale l'armatura a taglio non è richiesta
Aw tot	Quantitativo di armatura per la verifica di piastre munite di armatura (formula 6.52 dell'EC2)
Asw,min	Quantitativo minimo di armatura previsto dai dettagli costruttivi (formula 9.11 dell'EC2)
n. x serie	Numero di serie di armature
n.ser 0(R)	Numero di braccia delle armature in direzione 0 (o numero di braccia radiale)
n.ser 90	Numero di braccia delle armature in direzione 90 (solo se armatura cruciforme)
Rif. cmb	Riferimento combinazioni da cui si generano le verifiche più gravose

18 STATI LIMITE D' ESERCIZIO

18.1 LEGENDA TABELLA STATI LIMITE D' ESERCIZIO

In tabella vengono riportati i valori di interesse per il controllo degli stati limite d'esercizio.

In particolare, vengono riportati, in relazione al tipo di elemento strutturale, i risultati relativi alle tre categorie di combinazione considerate:

- Combinazioni rare
- Combinazioni frequenti
- Combinazioni quasi permanenti.

I valori di interesse sono i seguenti:

Impianto per la produzione di energia elettrica da fonte eolica di potenza pari a 42
 MW denominato "Marmilla"
 Comuni di Villanovaforru, Sardara, Sanluri e Furtei (SU)
 Variante in riduzione da 42 MW a 36 MW



rRfck	rapporto tra la massima compressione nel calcestruzzo e la tensione fck in combinazioni rare	[normalizzato a 1]
rRfyk	rapporto tra la massima tensione nell'acciaio e la tensione fyk in combinazioni rare	[normalizzato a 1]
rPfck	rapporto tra la massima compressione nel calcestruzzo e la tensione fck in combinazioni quasi permanenti	[normalizzato a 1]
wR	apertura caratteristica delle fessure in combinazioni rare	[mm]
wF	apertura caratteristica delle fessure in combinazioni frequenti	[mm]
wP	apertura caratteristica delle fessure in combinazioni quasi permanenti	[mm]
dR	massima deformazione in combinazioni rare	
dF	massima deformazione in combinazioni frequenti	
dP	massima deformazione in combinazioni quasi permanenti	

Per ognuno dei nove valori soprariportati viene indicata (Rif.cmb) la combinazione in cui si è verificato. In relazione al tipo di elemento strutturale i valori sono selezionati nel modo seguente:

pilastrì	rRfck	rRfyk	rPfck	per sezioni significative
travi	rRfck wR dR	rRfyk wF dF	rPfck wP dP	per sezioni significative per sezioni significative massimi in campata
setti e gusci	rRfck wR	rRfyk wF	rPfck wP	massimi nei nodi dell'elemento massimi nei nodi dell'elemento

Si precisa che i valori di massima deformazione per travi sono riferiti al piano verticale (piano locale 1-2 con momenti flettenti 3-3).